



UNIVERSITATEA BABEŞ-BOLYAI CLUJ NAPOCA

TEZĂ DE DOCTORAT

**TRANSPORTUL RADONULUI PRIN MATERIALELE DE
CONSTRUCȚII**

REZUMAT

**Doctorand
Adelina Carmen APOSTU**

**Coordonator științific
Prof.dr. Constantin COSMA**

2011

CUPRINS

1. INTRODUCERE	2
2. SCOPUL CERCETARILOR	2
3. STRUCTURA TEZEI	2
4. CERCETARI EXPERIMENTALE	3
4.1. Influența factorilor de compoziție și a caracteristicilor de rezistență și durabilitate a betoanelor asupra emisiei de radon	3
4.1.1. Influența adaosurilor din cimenturi și a cimenturilor fabricate în Romania asupra radioactivității betoanelor	3
4.1.2. Cercetări experimentale pentru determinarea unor caracteristici de rezistență și durabilitate pentru betoane preparate cu diferite tipuri de cimenturi	8
4.1.2.1. Program de cercetare	8
4.1.2.2. Rezultate obținute	9
4.1.3. Rezultate obținute pentru rata de exalație a radonului din betoane preparate cu diferite tipuri de cimenturi	15
4.2. Influența caracteristicilor betonului asupra transportului radonului	19
4.2.1. Influența raportului A/C și a densității betonului asupra porozității aparente și totale a betonului	19
4.2.2. Influența raportului A/C și a densității betonului asupra coeficientului de permeabilitate	20
4.2.3. Influența raportului A/C și a densității betonului asupra coeficientului de difuzie	23
4.2.3.1. Influența raportului A/C asupra coeficientului de difuzie	23
4.2.3.2. Influența densității betonului asupra coeficientului de difuzie	24
4.2.4. Influența permeabilității betonului asupra coeficientului de difuzie	25
5. CONTRIBUȚIA BETOANELOR LA CONCENTRAȚIA DE RADON DIN INTERIOR	26
5.1. Determinarea concentrației de radon din interior, cu ajutorul ratei de exalație a radonului din betoane preparate cu diferite tipuri de cimenturi	26
6. MĂSURI DE REDUCERE A RADONULUI DIN INTERIOR	27
6.1. Determinări efectuate pe diferite tipuri de membrane rezistente la intrarea radonului	27
7. CONCLUZII SI CONTRIBUTII PERSONALE	30
7.1. Concluzii generale rezultate în urma studiului literaturii de specialitate	30
7.2. Concluzii rezultate în urma cercetărilor experimentale efectuate	31
7.3. Contributii proprii	36
BIBLIOGRAFIE	38

Cuvinte cheie: radioactivitate, adaos, ciment, beton, aditiv, exalație, difuzie

1. INTRODUCERE

Obiectivul acestei teze a constat în evidențierea caracteristicilor materialelor de construcții, importante pentru transportul radonului. Având în vedere faptul că, dintre toate materialele de construcții, betonul pare a avea cele mai mari contribuții la creșterea concentrației de radon din interior, în teza se prezintă influențele caracteristicilor acestuia asupra exalatiei și cresterii concentrației de radon. S-au realizat amestecuri de betoane utilizând diferite tipuri de cimenturi și s-au analizat influențele adaosurilor din cimenturi asupra exalatiei de radon.

2. SCOPUL CERCETARILOR

Principalul scop al tezei este stabilirea influenței adaosurilor din cimenturi, a factorilor de compozitie și a caracteristicilor de rezistență și durabilitate ale betoanelor preparate cu diferite tipuri de cimenturi asupra difuziei radonului, a ratei de exalatie din betoane preparate cu diferite tipuri de cimenturi și respectiv a concentrației de radon din interior.

Am conceput trei programe de cercetare, primul program constând în determinarea influenței adaosurilor din cimenturi, a cimenturilor și respectiv a agregatelor asupra radioactivitatii betoanelor. Acest lucru s-a realizat prin testarea unor adaosuri ce intră în compozitia cimenturilor, testarea cimenturilor fabricate cu diferite adaosuri și respectiv prepararea și testarea unor betoane cu aceste tipuri de cimenturi pentru a putea evalua influența adaosurilor și implicit a cimenturilor asupra radioactivitatii betoanelor.

Cel de-al doilea program de cercetare a constat în corelarea unor caracteristici de rezistență (rezistență la compresiune) și durabilitate (porozitate, permeabilitate la apă și aer) ale betoanelor preparate cu cimenturi cu diferite adaosuri și diferite tipuri de aditivi cu ratele de exalatie a radonului și respectiv concentratiile de radon din interior.

În cadrul celui de-al treilea program, am preparat amestecuri de betoane utilizând două tipuri de cimenturi cu adaosuri, pe care am testat eficacitatea a două barieră împotriva radonului.

Masurările le-am realizat utilizând un sistem de măsurare a radonului Pylon AB-5, compus din monitor radon model Pylon AB-5, celule LUCAS, contor pasiv model CPRD împreună cu o cutie specială pentru măsurarea exalatiei de radon, sistem achiziționat în cadrul proiectului „Solutii tehnice pentru protecția construcțiilor existente și noi din România expuse emisiilor radioactive, cerința esențială pentru asigurarea igienei și sănătății oamenilor, în conformitate cu legislația europeană”, finanțat de Ministerul Educației și Cercetării, în cadrul programului național de cercetare-dezvoltare și inovare AMTRANS – Amenajarea Teritoriului și Transporturi [3].

3. STRUCTURA TEZEI

Teza este structurată în sapte capituloare, prezentate pe scurt în continuare.

Capitolul 1 prezintă pe scurt sursele de radon. Se prezintă factorii de care depinde migrarea radonului de la locul de formare spre aerul interior, precum și factorii care limitează migrarea acestuia din sol spre cladire.

De asemenea, se scrie în evidență factorii care influențează eliberarea radonului din materialele de construcții.

Capitolul 2 evidențiază particularitățile și caracteristicile radonului, caile de intrare ale acestuia, precum și factorii care favorizează transportul radonului în interior. Se prezintă, pe scurt, factorii care influențează variațiile radonului din exterior și din interior.

Capitolul 3 prezintă proprietățile și caracteristicile materialelor componente betonului și ale betonului. Sunt abordate particularitățile alcăturii microstructurii betonului, caracteristicile specifice (porozitatea, permeabilitatea, difuzia), precum și factorii care influențează aceste caracteristici. De asemenea, se prezintă pe scurt fenomenul de hidratare a cimentului, procesul de fabricație, precum și particularitățile și caracteristicile adaosurilor utilizate la fabricarea cimenturilor (zgura, puzzolana, cenușă, zburatoare, calcar).

Celelalte materiale componente ale betonului, agregatele, apa și aditivii, sunt caracterizate pe scurt, subliniind rolul acestora în amestecul de beton.

În cadrul acestui capitol se subliniază principalele caracteristici ale betonului importante pentru emisia radonului: raportul apa/ciment, raportul gel/spațiu, volumul de pori, sistemul de pori, porozitatea, permeabilitatea, difuzia și relațiile dintre acestea.

Capitolul 4 prezintă caracteristicile de eliberare a radonului din beton, precum și factorii care influențează exalatia de radon din beton. Astfel, se prezintă o sinteză a unor studii, cercetări și reglementări existente pe plan internațional și, în extenso, rezultatele cercetărilor experimentale efectuate

in vederea stabilirii influentei diverselor tipuri de adaosuri utilizate la fabricarea cimenturilor si respectiv a cimenturilor asupra radioactivitatii betoanelor; a unei corelari intre dozajele de ciment, raportul A/C, caracteristicile de rezistenta si durabilitate ale betonului si rata de exalatie a radonului din beton; a influentei raportului A/C, a densitatii si permeabilitatii betonului asupra difuziei radonului.

Capitolul 5 evidențiază contribuția betonului și a altor materiale de construcții la creșterea concentrației radonului din interior. În acest capitol se prezintă rezultatele obținute pentru concentrația de radon din interior în funcție de rata de exalare a radonului obținută pentru betoane preparate cu diferite tipuri de cimenturi cu adaosuri.

Capitolul 6 subliniază metodele de reducere a radonului din clădiri existente, precum și soluțiile tehnico-construcțive pentru clădiri noi expuse în zone cu potențial radioactiv, evidențierănd particularitățile și eficiența fiecarei metode.

De asemenea, se prezintă rezultatele obținute prin testarea eficacității barierelor împotriva radonului, aplicate pe betoane preparate cu două tipuri de cimenturi cu adaosuri.

Capitolul 7 este rezervat concluziilor generale rezultate în urma studiului literaturii de specialitate, precum și a celor rezultate în urma cercetărilor experimentale efectuate.

În cele ce urmăzează voi prezenta, pe scurt, rezultatele cercetărilor experimentale efectuate.

4. CERCETARI EXPERIMENTALE

4.1. Influența factorilor de compoziție și a caracteristicilor de rezistență și durabilitate a betoanelor asupra emisiei de radon

4.1.1. Influența adaosurilor din cimenturi și a cimenturilor fabricate în România asupra radioactivitatii betoanelor

Programul de cercetare a constat în testarea unor adaosuri ce intră în compozitia cimenturilor existente pe piață din România, a cimenturilor cu diferite adaosuri și respectiv prepararea unor betoane cu aceste tipuri de cimenturi pentru a putea evalua influența adaosurilor și implicit a cimenturilor asupra radioactivitatii betoanelor.

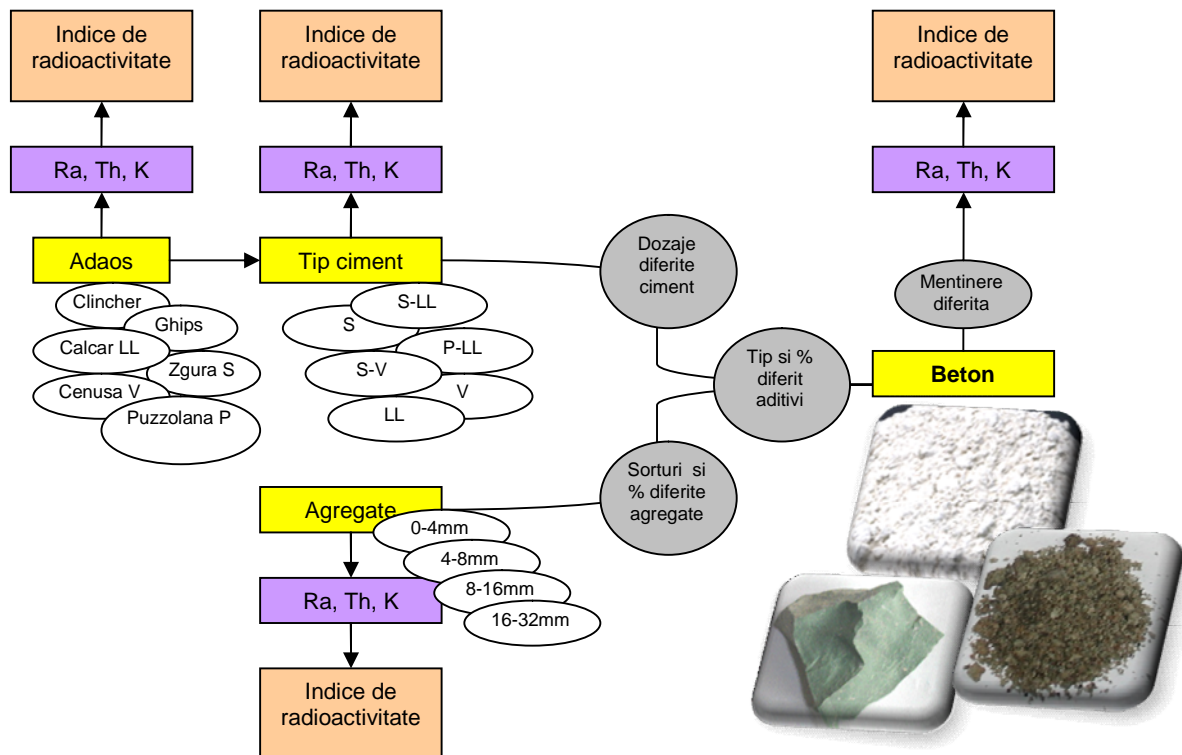


Fig. 4.1.1 -Schema de realizare a programului de cercetare privind determinarea influenței adaosurilor din cimenturi, a cimenturilor și agregatelor asupra radioactivitatii betoanelor

In continuare se prezintă rezultatele obținute pentru determinarea concentrațiilor principalelor elemente radioactive (Ra-226, Th-232, K-40) și a indicelui de radioactivitate pentru diferite adaosuri

utilizate la fabricarea cimenturilor, pentru cimenturi cu adaosuri si respectiv pentru betoane preparate cu aceste tipuri de cimenturi.

1. Adaosuri

Pentru a evalua radioactivitatea adaosurilor utilizate la fabricarea cimenturilor, s-au realizat masuratori prin spectroscopie gama cu detector HP (Ge). Astfel, s-au masurat concentratiile principalelor elemente radioactive pentru diferiti componenti folositi la fabricarea cimenturilor.

Rezultatele obtinute pentru concentratiile principalelor elemente radioactive pentru diferiti componenti folositi la fabricarea cimenturilor sunt prezentate in teza si sunt sintetizate in figura 4.1.2.

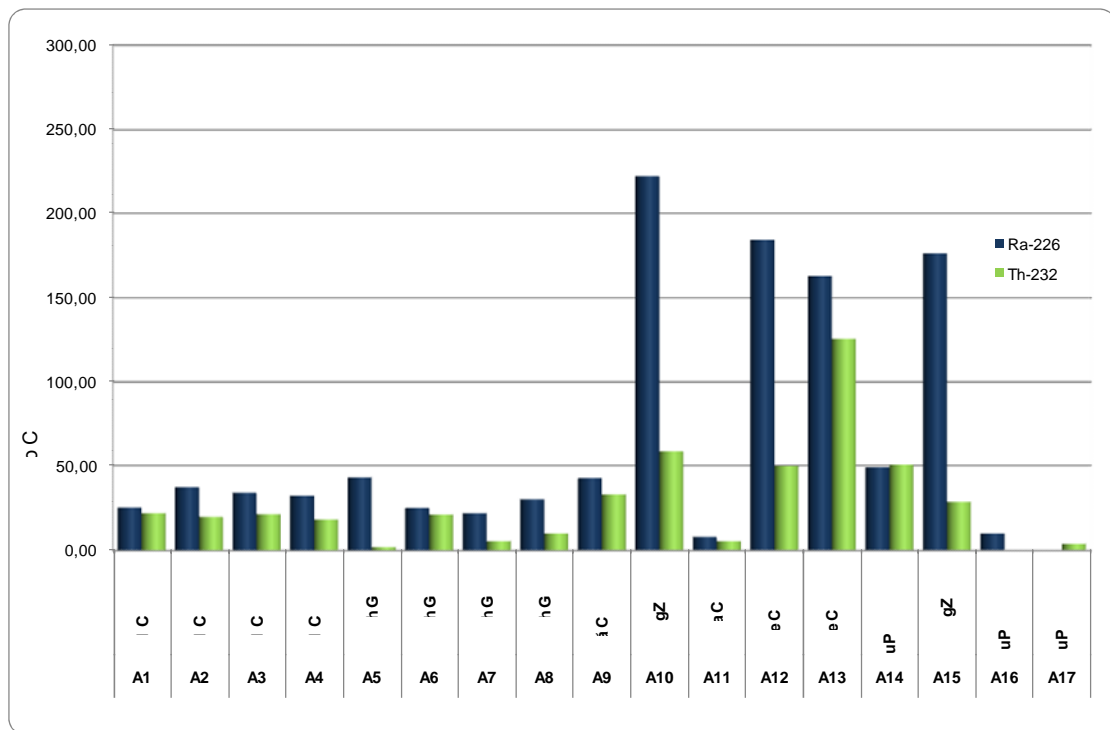


Fig. 4.1.2 – Concentratiile activitatii radiului si thoriului

Pentru un acelasi tip de component, rezultatele obtinute variaza datorita surselor diferite din care acesta provine. De asemenea, din figura 4.1.2, se observa valorile ridicate ale radionuclizilor pentru zgura (A10, A15) si cenusă (A12, A13), comparativ cu cele obtinute pentru calcar (A11).

2. Cimenturi

Contributia adaosurilor testate s-a evaluat prin adaugarea acestora la fabricarea diferitelor tipuri de cimenturi. Astfel, s-au testat cimenturi fara adaosuri (CEM I 42,5R) si cimenturi cu adaosuri de zgura, cenusă, calcar, zgura+calcar, puzzolana+calcar, zgura+censusa. Cimenturile testate sunt fabricate in Romania, de diferite fabrici, procentele de adaosuri utilizate pentru un acelasi tip de ciment variind de la o fabrica la alta.

Astfel, pentru a putea evalua radioactivitatea cimenturilor datorata adaosurilor continute de acestea, s-au masurat concentratiile radionuclizilor Ra, Th si K si s-au determinat indicii de radioactivitate pentru diferite tipuri de cimenturi.

Valorile obtinute pentru concentratia activitatii radionuclizilor sunt reprezentate grafic in figura 4.1.3, comparativ cu valoarea maxim admisa a radiului pentru ciment reglementata de ordinul Ministerului Sanatatii nr. 51/ 1983 [97].

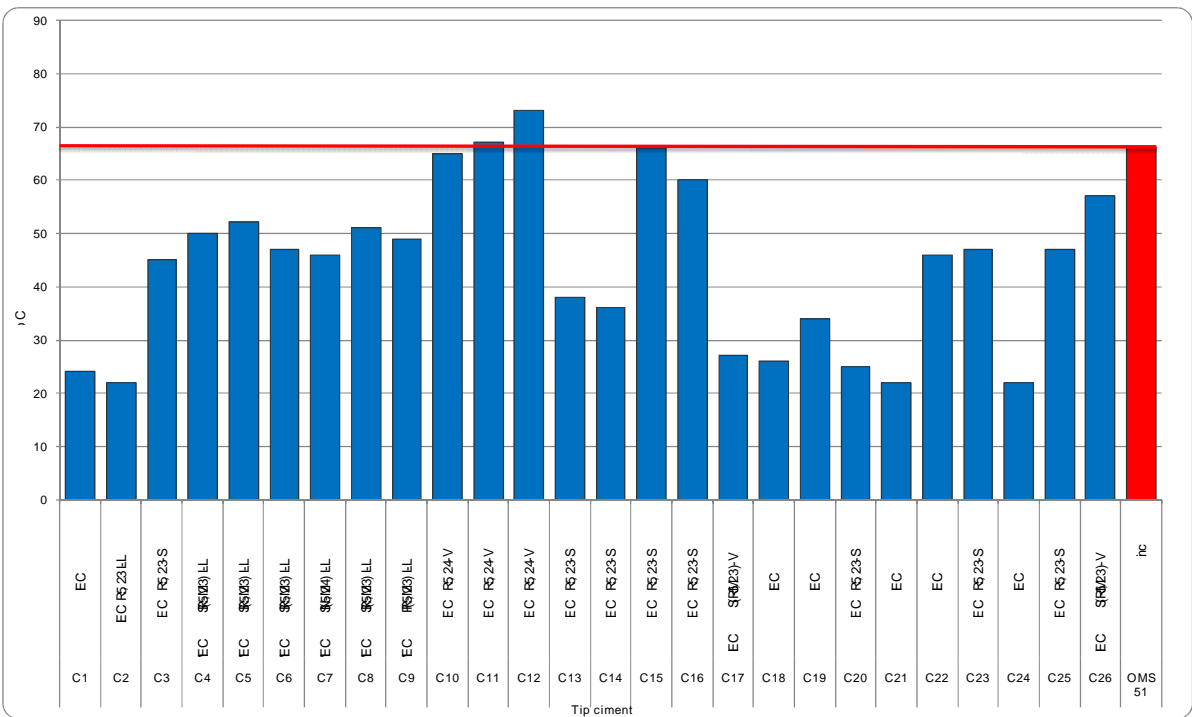


Fig. 4.1.3 – Concentrația activității radionuclidului radiu pentru diferite tipuri de cimenturi

Cimenturile cu adaos de cenușă (II/A-V 42,5R) au valori ale concentrației de radiu apropiate de valoarea maxima admisă în România. În cazul cimentului II/A-S 32,5R se observă ca valorile obținute depind de sursa de zgura și respectiv de procentele utilizate la fabricarea cimentului (6-20%).

În cazul radionuclizilor Th-232 și K-40, toate tipurile de cimenturi testate au valori mult mai mici față de valoarea maximă admisă în România.

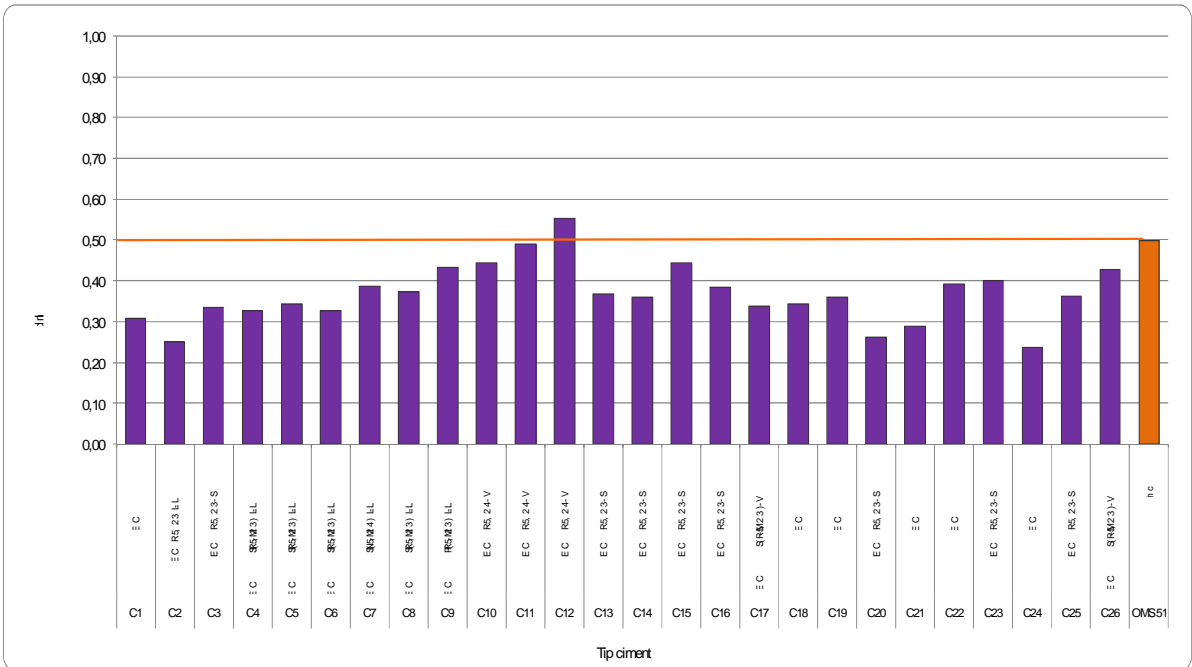


Fig. 4.1.4 – Valorile indicelui de radioactivitate pentru diferite tipuri de cimenturi

Cimentul C12, cu adaos de cenușă, are indicele de radioactivitate mai mare cu 10% față de valoarea maximă admisă în România. Cimenturile cu cenușă, C10 și C11, au valori apropiate (0,45 și respectiv 0,49) de valoarea maximă admisă pentru indicele de radioactivitate.

Celelalte tipuri de cimenturi testate au avut valori ale indicilor de radioactivitate sub valoarea maximă admisă.

3. Agregate

La prepararea betoanelor s-au utilizat agregate sorturi 0-4 mm, 4-8 mm, 8-16 mm si 16-32 mm, procentele de agregate utilizate, precum si rezultatele determinarilor izotopilor radioactivi realizate pe cantitati de agregate cuprinse intre 157 si 177 g, fiind prezentate in tabelul 4.1.1.

Tabelul 4.1.1 - Rezultatele determinarilor de izotopi radioactivi pentru diferite sorturi de agregate utilizate la prepararea betoanelor

Sort agregate (mm)	Procente agregate utilizate la prepararea betoanelor		Concentrația activității radionuclizilor (Bq/kg)			Indicele de radioactivitate I
	Cod beton B1-B4, B14-B20	Cod beton B5-B13	Ra-226	Th-232	K-40	
0-4	35%	45%	10,4	11,5	506	0,26
4-8	15%	23%	9,2	10,0	528	0,26
8-16	21%	32%	10,0	13,0	555	0,28
16-32	29%	-	6,8	10,0	292	0,17
Valoare maxima admisa OMS 51/1983			29,97	91,39	869,5	

In cazul agregatelor, se observa ca valorile obtinute pentru cele 4 sorturi, pentru radionuclizii Ra-226, Th-232 si K-40 sunt mult mai mici decat valorile maxime admise in Romania.

Cu ajutorul procentelor de agregate utilizate la prepararea betoanelor si respectiv a cantitatii de ciment folosit pentru fiecare tip de beton testat, se poate estima concentratia activitatii radionuclizilor datorata materialelor componente betonului.

4. Betoane

La prepararea betoanelor s-au utilizat:

- cimenturi cu adaosuri de puzzolana (P), zgura (S), calcar (LL), cenusă (V);
- agregate de râu, sorturi 0-4 mm, 4-8 mm, 8-16 mm, 16-32 mm, zona 3 de granulozitate, favorabilă, în conformitate cu NE 012-1/2007 [4];
- aditiv plastifiant / superplastifiant sau antrenor de aer, după caz.

Programul de cercetare a constat în determinarea concentrațiilor radionuclizilor Ra-226, Th-232 și K-40 din betoane preparate cu unele tipuri de cimenturi cu adaosuri.

Dintre tipurile de cimenturi studiate, au fost alese cele cu cele mai ridicate valori ale concentrației activitatii de radiu și respectiv a indicelui de radioactivitate, pentru a putea evalua radioactivitatea betoanelor preparate cu acestea. Astfel, au fost utilizate urmatoarele tipuri de cimenturi: C10, C11, C12 (CEM II/A-V 42,5R, cu diferite procente și surse de cenusă), C15 (CEM II/A-S 32,5R, cu adaos de zgura), C4, C5, C8 (CEM/II B-M (S-LL) 32,5R cu diferite procente de zgura și calcar) și C9 (CEM/II B-M (P-LL) 32,5R, cu adaosuri de puzzolana și calcar).

Astfel, s-au preparat betoane cu cimenturi cu adaosuri (cimenturi Portland cu adaosuri ce variază între 21-35%: CEM II/B-M (S-LL) 32,5R, CEM II/B-M (P-LL) 32,5R, cimenturi Portland cu adaosuri ce variază între 6-20%: CEM II/A-V 42,5R și CEM II/A-S 32,5R), la diferite dozaje de ciment, utilizând diferite tipuri și procente de aditivi (superplastifiant/plastifiant, antrenor de aer) și sorturi de agregate cu granula maximă de 16 mm și respectiv 32 mm. Tipurile de ciment, dozajul de ciment și aditivilii utilizati la prepararea betoanelor, cantitatea totală de agregate utilizate, precum și raportul apa/ciment obținut sunt prezentate în tabelul 4.1.2.



Tabelul 4.1.2 – Compozițiile betoanelor preparate cu diferite tipuri de cimenturi

Cod beton	Tip ciment	Dozaj ciment (kg/m ³)	Aditiv (% din cantitatea de ciment)	Apa (l)	Aggregate (kg)	Granula maxima aggregate (mm)	Raport apa/ciment
B1	CEM II/B-M (P-LL) 32,5R	350	0,4% plastifiant	161,0	1718,0	32	0,46
B2	CEM II/B-M (P-LL) 32,5R	350	0,4% plastifiant	161,0	1718,0	32	0,46
B3	CEM II/B-M (S-LL) 32,5R (1)	320	1% superplastifiant	160,0	1752,0	32	0,50
B4	CEM II/B-M (S-LL) 32,5R (1)	400	1% superplastifiant	160,0	1646,0	32	0,40
B5	CEM II/A-V 42,5R (1)	470	0,7% superplastifiant	211,5	1589,0	16	0,45
B6	CEM II/A-V 42,5R (2)	350	0,7% superplastifiant	192,5	1733,0	16	0,55
B7	CEM II/A-V 42,5R (1)	350	0,7% superplastifiant	189,0	1733,0	16	0,54
B8	CEM II/A-V 42,5R (2)	470	0,7% superplastifiant	211,5	1589,0	16	0,45
B9	CEM II/A-V 42,5R (3)	350	0,7% superplastifiant	189,0	1733,0	16	0,54
B10	CEM II/A-V 42,5R (3)	470	0,7% superplastifiant	206,8	1589,0	16	0,44
B11	CEM II/A-V 42,5R (2)	400	0,05% antrenor+plastifiant	204,0	1666,0	16	0,51
B12	CEM II/A-V 42,5R (1)	400	0,05% antrenor+plastifiant	200,0	1666,0	16	0,50
B13	CEM II A-V 42,5R (1)	400	0,05% antrenor+plastifiant	200,0	1666,0	16	0,50
B14	CEM II B-M (S-LL) 32,5R (2)	340	0,4% plastifiant	159,8	1739,0	32	0,47
B15	CEM II/B-M (S-LL) 32,5R (2)	400	0,4% plastifiant	168,0	1651,0	32	0,42
B16	CEM II/B-M (S-LL) 32,5R (2)	300	0,4% plastifiant	168,0	1773,0	32	0,56
B17	CEM II/B-M (S-LL) 32,5R (3)	320	1% superplastifiant	150,4	1752,0	32	0,47
B18	CEM II/A-S 32,5R	320	1% superplastifiant	160,0	1752,0	32	0,50
B19	CEM II/A-S 32,5R	400	1% superplastifiant	160,0	1646,0	32	0,40
B20	CEM II/B-M (S-LL) 32,5R (3)	400	1% superplastifiant	144,0	1646,0	32	0,36

Probele de beton de dimensiuni 150x150x150 mm au fost realizate în conformitate cu normele în vigoare la data preparării acestora [4]. Acestea au fost tinute 2 sau 7 zile în apă, apoi au fost mentinute în aer, pana la varsta incercarii (28 zile, 180 zile si 1 an), la o temperatura de 20°C și umiditate 65%.

Valorile obținute pentru concentrația activitatii Ra-226 variază între 15-25 Bq/kg. Valorile obținute pentru Th-232 variază între 10-22 Bq/kg, iar pentru K-40 valorile se situează între 250-770 Bq/kg. Valorile obținute pentru Ra și Th din betoane sunt asemănătoare celor obținute în diferite cercetări experimentale internaționale [35], situându-se la partea inferioară a intervalului citat în literatura de specialitate.

Indicii de radioactivitate pentru betoanele studiate sunt prezentate în figura 4.1.5.

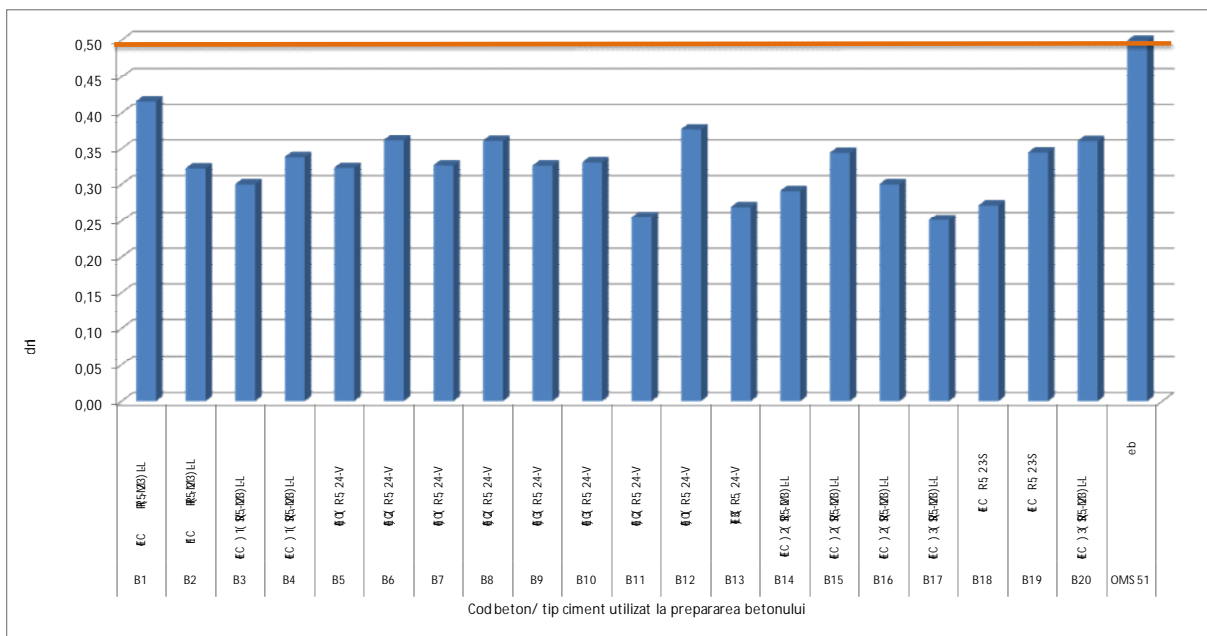


Fig. 4.1.5 – Valorile indicilor de radioactivitate obtinuti pentru betoane preparate cu diferite tipuri de cimenturi cu adaosuri

Betoanele preparate cu acelasi tip de ciment, mentinute in apa 2 zile (B1) au valori ale indicelui de radioactivitate mai mari cu 30% fata de betoanele tratate 7 zile (B2).

Se observa ca pentru betoanele preparate cu acelasi tip de ciment de clasa 32,5, mentinute in aceleasi conditii, valorile indicilor de radioactivitate cresc cu sporirea cantitatii de ciment.

In cazul betoanelor preparate cu ciment de clasa 42,5 se observa diferente mici ale valorilor indicilor de radioactivitate pentru dozaje diferite de ciment.

Pentru acelasi dozaj de ciment, valorile obtinute pentru betoanele mentinute 7 zile in apa si apoi in aer, nu prezinta diferente semnificative, astfel:

- pentru dozaje de ciment de 320 kg/m^3 , s-au obtinut valori ale indicelui de radioactivitate cuprinse intre 0,25 si 0,30.
- pentru dozaje de ciment de 350 kg/m^3 , s-au obtinut valori ale indicelui de radioactivitate cuprinse intre 0,32 si 0,36.
- pentru dozaje de ciment de 400 kg/m^3 , s-au obtinut valori ale indicelui de radioactivitate cuprinse intre 0,26 si 0,38.

Rezultatele obtinute in cadrul acestui program de cercetare pot fi sintetizate in schema prezentata in figura 4.1.6.

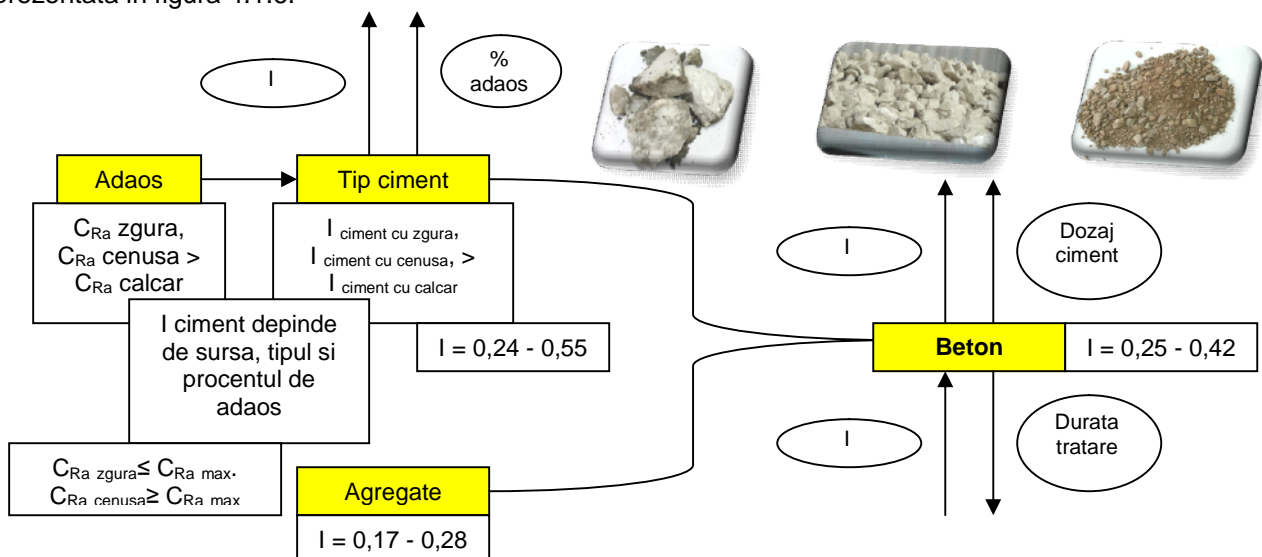


Fig. 4.1.6 - Schitarea rezultatelor obtinute pentru adaosurile din cimenturi, cimenturi, aggregate si betoane

4.1.2. Cercetări experimentale pentru determinarea unor caracteristici de rezistență și durabilitate pentru betoane preparate cu diferite tipuri de cimenturi

4.1.2.1. Program de cercetare

Programul de cercetare a constat în determinarea unor caracteristici de rezistență și durabilitate (rezistență la compresiune, porozitate, permeabilitate la apă și aer, etc.) ale betoanelor preparate cu cimenturi cu diferite adaosuri și diferite tipuri de aditivi, în vederea corelării rezultatelor obținute cu ratele de exalație a radonului și respectiv valorile obținute pentru concentrația de radon din interior (fig.4.1.7).

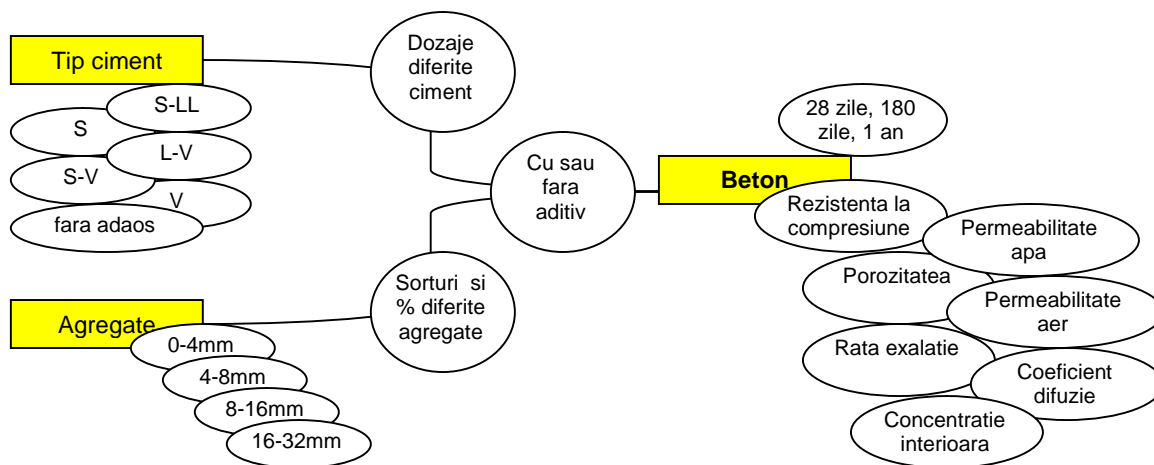


Fig. 4.1.7 - Schema de realizare a programului de cercetare privind corelarea caracteristicilor de rezistență și durabilitate ale betoanelor preparate cu cimenturi cu diferite adaosuri și diferite tipuri de aditivi, cu ratele de exalație a radonului și respectiv concentrațiile de radon din interior

În cadrul programului experimental s-au preparat betoane de clase C12/15....C20/25 cu cimenturi având diferite procente de adaosuri de zgură, zgură + calcar, calcar + cenușă, fără aditiv și respectiv betoane de clase de rezistență C18/22,5....C30/37 cu cimenturi având diferite procente de adaosuri de zgură, zgură + calcar, calcar + cenușă, zgură + cenușă, cenușă și cu diferite dozaje de aditiv superplastifiant (S). De asemenea, s-au preparat epruvete de beton de clase C25/30 și C30/37 cu ciment cu adaos de zgură, cenușă sau fără adaos și diferite dozaje de aditiv antrenor de aer (A). Procentul de aer antrenat a fost aproximativ 3,5%, pentru betoanele preparate cu ciment cu adaos și respectiv 4,9%, pentru betonul preparat cu ciment fără adaos, pentru un același raport apă/ciment de aproximativ 0,36.

După preparare, probele de beton au fost menținute 7 zile în apă, apoi au fost menținute în mediu interior, la o temperatură de 20°C și umiditate de 65% până la data încercării.

S-au determinat rezistențele la compresiune, caracteristicile de permeabilitate la aer și respectiv apă a betoanelor având compozиții diferite, după 28 de zile, 180 zile și 1 an de la turnarea acestora. Totodată, s-au determinat valorile porozității și respectiv ratele de exalație a radonului din tipurile de betoane studiate din punct de vedere al rezistenței și durabilității în timp.



4.1.2.2. Rezultate obținute

Rezistența la compresiune

În cadrul programului de cercetare s-au determinat caracteristicile de rezistență, permeabilitate la aer și respectiv la apă a unor betoane având compozиtii diferite, pentru a le putea corela cu ratele de exalație a radonului.

În tabelul 4.1.3 se prezintă compozиtia betoanelor și caracteristicile betoanelor în stare proaspătă (raportul apa/ciment, continutul de aer antrenat).

Tabelul 4.1.3 - Compoziția și caracteristicile betoanelor în stare proaspătă

Nr. crt.	Tip adaos în ciment	Clasa prescrisă a betonului	Dozaj ciment (kg/m ³)	Aditiv	A/C	Aer antrenat (%)
1	zgură	C 12/15	300	-	0,55	-
2	zgură + calcar	C 12/15	300	-	0,57	-
3	calcar + cenușă	C 12/15	300	-	0,58	-
4	zgură + calcar	C 16/20	320	-	0,53	-
5	zgură	C 18/22,5	340	-	0,49	-
6	zgură+ calcar	C 18/22,5	340	-	0,52	-
7	calcar + cenușă	C 18/22,5	340	-	0,52	-
8	zgură	C 20/25	380	-	0,43	-
9	zgură+ calcar	C 20/25	380	-	0,48	-
10	calcar + cenușă	C 18/22,5	330	superplastifiant	0,49	-
11	zgură	C 18/22,5	330	superplastifiant	0,42	-
12	zgură+ calcar	C 18/22,5	330	superplastifiant	0,49	-
13	zgură	C 20/25	360	superplastifiant	0,44	-
14	cenușă	C 20/25	360	superplastifiant	0,40	-
15	zgură+ cenușă	C 20/25	360	superplastifiant	0,43	-
16	zgură	C 20/25	360	superplastifiant	0,43	-
17	zgură	C 20/25	360	superplastifiant	0,41	-
18	zgură	C 20/25	360	superplastifiant	0,40	-
19	zgură+ calcar	C 20/25	360	superplastifiant	0,46	-
20	calcar + cenușă	C 20/25	360	superplastifiant	0,46	-
21	zgură	C 30/37	400	superplastifiant	0,39	-
22	zgură	C 30/37	400	superplastifiant	0,37	-
23	cenușă	C 30/37	400	superplastifiant	0,35	-
24	-	C 25/30	450	antrenor de aer	0,35	4,9
25	zgură	C 25/30	450	antrenor de aer	0,36	3,6
26	zgură	C 30/37	510	antrenor de aer	0,35	3,3
27	cenușă	C 30/37	510	antrenor de aer	0,37	3,8

Rapoartele A/C, dozajele de ciment și condițiile de păstrare utilizate au fost în conformitate cu reglementările aflate în vigoare la data preparării betoanelor.

Rezistențele la compresiune obținute pentru betoanele preparate cu aditiv superplastifiant sunt prezentate în figura 4.1.8, evoluțiile în timp a rezistențelor la compresiune a betoanelor preparate fără aditiv și respectiv cu aditiv antrenor de aer fiind prezentate în extenso în cadrul tezei.

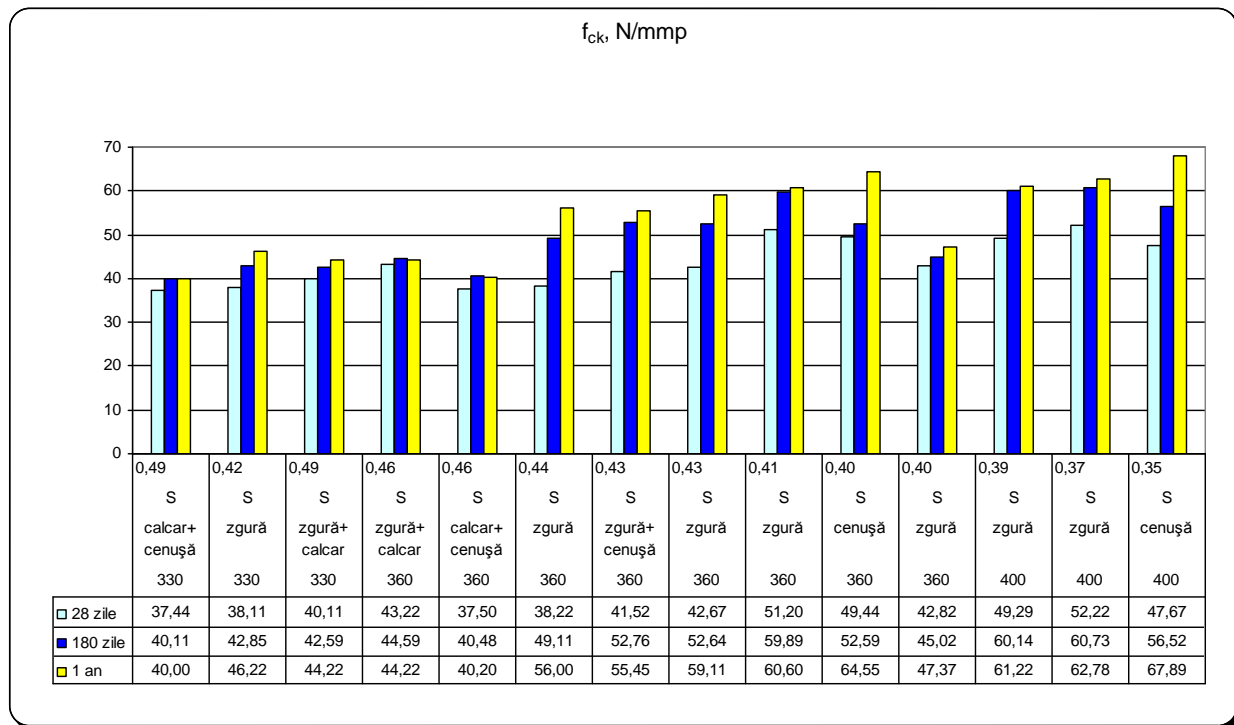


Fig. 4.1.8 - Evoluția în timp a rezistențelor la compresiune a betoanelor preparate cu aditiv superplastifiant

Din punct de vedere al caracteristicilor de rezistență, toate betoanele studiate corespund claselor prescrise, având rezistențe la compresiune superioare celor corespunzătoare claselor.

Cele mai mari creșteri ale rezistenței la compresiune între 28 și 180 zile se observă la betoanele preparate cu ciment cu zgură, evoluțiile cele mai lente întâlnindu-se la betoanele preparate cu ciment cu adaosuri de calcar și cenușă.

Între 180 zile și 1 an, s-au obținut creșteri de rezistență însemnante pentru betoanele preparate cu aditiv și ciment cu adaos de zgură și respectiv cenușă. În general, la betoanele preparate cu ciment cu adaosuri de calcar și cenușă se observă o uniformizare a rezistențelor între 180 de zile și 1 an.

Pentru o aceeași clasă de beton, se observă că betoanele preparate cu ciment cu adaos de zgură au o rezistență la compresiune mai mare decât a celorlalte betoane, indiferent dacă sunt sau nu preparate cu aditiv. Rezistențe la compresiune mai scăzute s-au obținut în cazul betoanelor preparate cu ciment cu adaosuri de calcar și cenușă. Desigur, un factor esențial îl constituie valoarea rezistenței cimenturilor.

Porozitatea

Valorile obținute pentru porozitatea betoanelor la vîrstele de 28, 180 zile și 1 an sunt prezentate în figura 4.1.9. Probele au fost menținute în mediu interior, la o temperatură de 20°C și umiditate de 65% înainte de inceperea testelor pentru determinarea porozitatii betonului.

Porozitatea scade în timp, mai accentuat pentru betoanele preparate cu ciment cu adaos de zgură și respectiv cu cenușă. Betoanele preparate cu ciment cu zgură și calcar prezintă o uniformizare a valorilor porozității în timp, indiferent de tipul de aditiv utilizat la prepararea betoanelor.



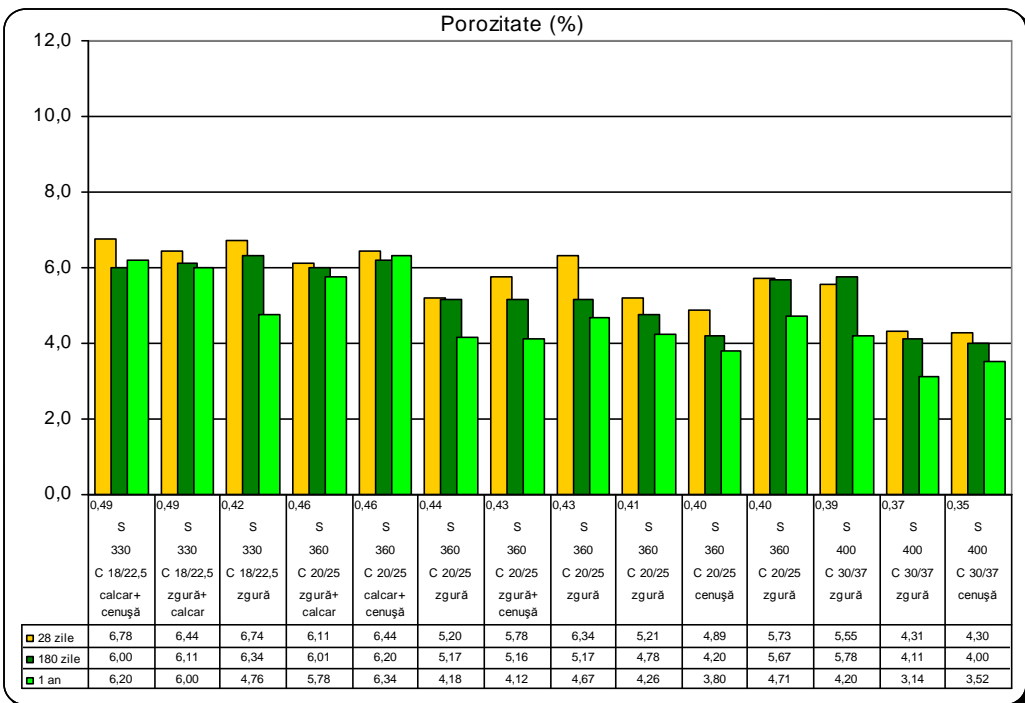


Fig. 4.1.9 - Evoluția în timp a porozității betoanelor preparate cu aditiv superplastifiant

Permeabilitate la apa și la aer

Proble de beton au fost testate și din punct de vedere al permeabilității, măsurându-se adâncimea de pătrundere a apei la o presiune de 4, 8 sau 12 barr (grad de permeabilitate P4, P8 sau P12) și respectiv adâncimea de scurgere a aerului (coeficientul de permeabilitate la aer).

Determinarea coeficientului de permeabilitate la aer s-a realizat prin metoda Torrent.

Surgerea aerului se face unidirectional și perpendicular pe suprafața expusă, în același mod în care se face transportul agentilor agresivi către interiorul betonului. Prezența umidității în cadrul structurii betonului poate avea o influență semnificativă în ceea ce privește permeabilitatea sa la aer sau apă.

Scopul urmărit a fost efectuarea unei analize comparative între adâncimea de scurgere a aerului în beton, determinată prin metoda Torrent (L) și adâncimea de pătrundere a apei (h) la o presiune de 4, 8 sau 12 barr și respectiv corelarea acestora cu emisiile de radon. Rezultatele obținute sunt prezentate în figura 4.1.9 și în extenso în cadrul tezei.

În urma cercetărilor experimentale efectuate s-a constatat că valorile coeficientului de permeabilitate la aer cresc în timp, astfel în rezumat se vor prezenta rezultatele obținute la varsta de un an de la turnarea betoanelor. Menționează că în teza sunt prezentate și rezultatele obținute la 28 și respectiv 180 de zile.

Cercetările de laborator au indicat că permeabilitatea betonului se reduce cu creșterea cantității de materiale cimentoide hidratate și cu descreșterea raportului A/C.



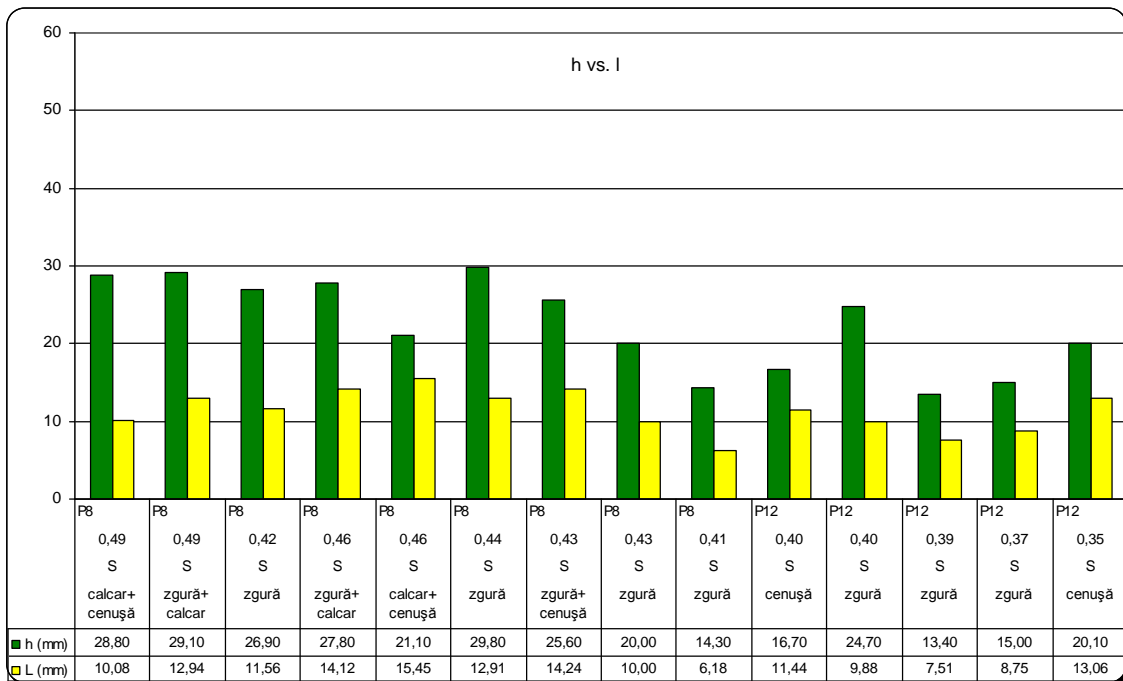


Fig. 4.1.10 - Adâncimea de pătrundere a apei (P8 și P12) și adâncimea de scurgere a aerului pentru betoane preparate cu aditiv superplastifiant, la vîrstă de 1 an

Adâncimea de scurgere a aerului pentru betoanele preparate cu aditiv superplastifiant reprezintă, în general, între 40-60% din adâncimea de pătrundere a aerului, pentru 8 și 12 barr.

Pentru betoanele preparate cu aditiv antrenor de aer, valorile obținute pentru adâncimea de scurgere a aerului reprezintă, în medie, 50-55%, cea mai mare valoare obținându-se pe betoanele cu ciment cu adaos de cenușă (56%), cea mai mică valoare, de 50%, a fost masurată pentru betoanele cu ciment cu adaos de zgură.

Comparând betoanele preparate cu același dozaj de ciment, betoanele preparate cu ciment cu adaos de zgură prezintă adâncimi de scurgere a aerului mai mici decât celelalte tipuri de betoane studiate, indiferent dacă sunt sau nu preparate cu aditivi. În general, adâncimi ridicate de scurgere a aerului s-au obținut pentru betoanele preparate cu ciment cu adaosuri de calcar și cenușă.

Analizând rezultatele obținute se poate aprecia că adâncimea de scurgere a aerului L(mm) determinată prin metoda Torrent, variază în funcție de tipul de ciment, de tipul de aditiv și de vîrstă betonului.

Adâncimea de pătrundere a apei și respectiv adâncimea de scurgere a aerului scad cu reducerea raportului A/C.

În cazul betoanelor preparate cu aditiv superplastifiant, la rapoarte apă/ciment reduse, s-au obținut valori mai mici ale adâncimii de scurgere a aerului decât în cazul betoanelor preparate cu rapoarte A/C ridicate, în special în cazul betoanelor preparate cu cimenturi cu adaos de zgură. Aceleași concluzii se pot formula și pentru betoanele preparate fără aditiv.

Adâncimea de scurgere a aerului în betoane crește în timp, indiferent de tipul de aditiv utilizat.

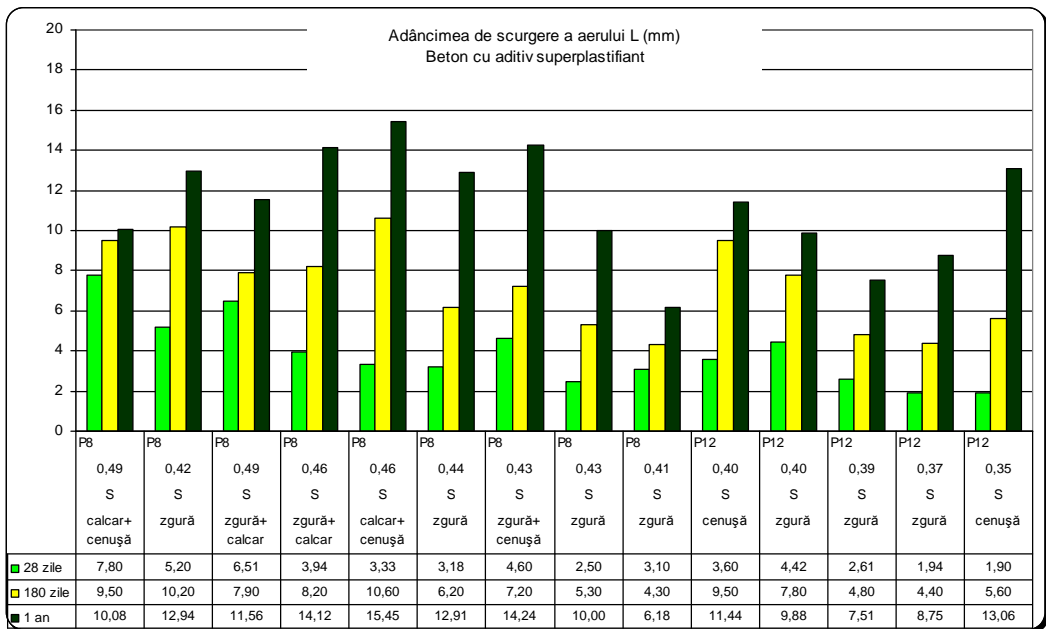


Fig. 4.1.11 - Variația în timp a adâncimii de scurgere a aerului pentru betoane preparate cu aditiv superplastifiant

De asemenea, a fost determinat coeficientul de permeabilitate la aer pentru betoanele preparate cu diferite tipuri de cimenturi, rezultatele obținute fiind prezentate în figura 4.1.12.

Coefficientul de permeabilitate urmează aceeași evoluție ca și adâncimea de scurgere a aerului, cu valori mai mici pentru betoanele preparate cu ciment cu adaos de zgură, pentru un același dozaj de ciment, respectiv pentru un raport A/C asemănător, indiferent dacă betoanele sunt sau nu preparate cu aditivi.

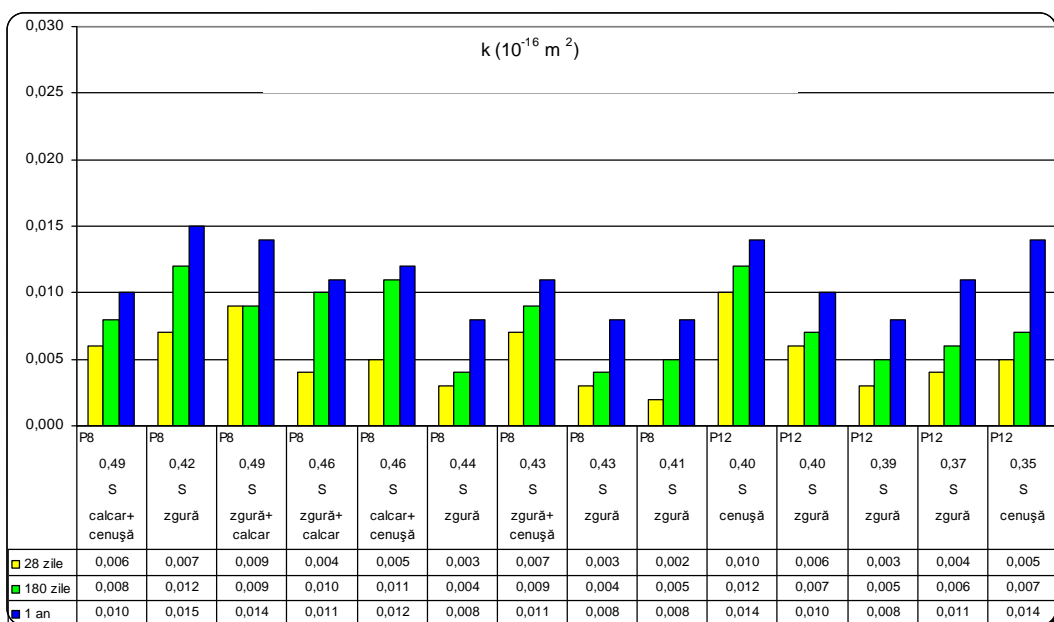


Fig. 4.1.12 - Variația în timp a coeficientului de permeabilitate la aer pentru betoane preparate cu aditiv superplastifiant

Pentru betoanele preparate cu aditiv superplastifiant și respectiv antrenor de aer, valorile obținute pentru coeficientul de permeabilitate sunt cu câteva ordine de mărime mai mici decât cele obținute pentru betoanele fără aditiv.

Coefficientul de permeabilitate evoluează în timp, între vîrstele de 28 zile și 1 an, creșterile fiind cuprinse între 25%-60%, evoluții mai lente obținându-se pentru betoanele preparate cu ciment cu adaos de zgură și respectiv pentru betoanele preparate cu aditiv antrenor de aer și ciment cu adaos de curenă.

Influența densității și porozității asupra coeficientului de permeabilitate la aer este ilustrată în continuare.

Coefficientul de permeabilitate la aer pentru betoane preparate cu același tip de ciment crește cu porozitatea betoanelor.

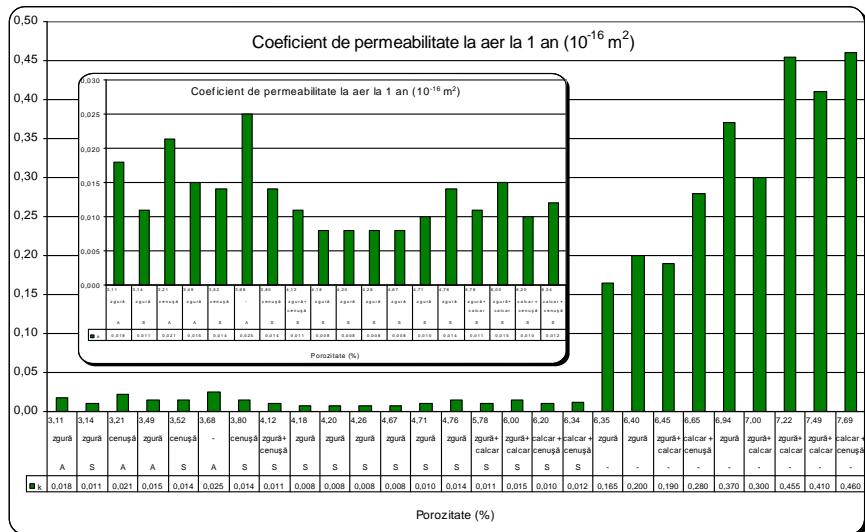


Fig. 4.1.13 - Variația coeficientului de permeabilitate în funcție de porozitatea betonului, la vârsta de 1 an

La vârsta de 1 an, valorile obținute pentru coefficientul de permeabilitate a betoanelor preparate cu aditiv sunt mai mici de 15-20 ori față de valorile obținute pentru betoanele fără aditiv. Se observă, și în acest caz, rolul aditivului folosit la prepararea betoanelor.

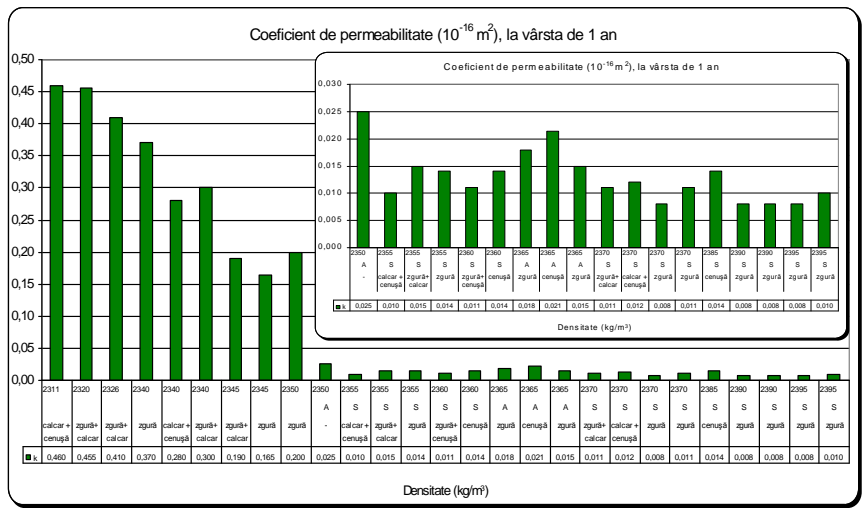


Fig. 4.1.14 - Variatia coeficientului de permeabilitate in functie de densitatea betonului, la varsta de 1 an

Pentru betoanele preparate cu același tip de ciment, coefficientul de permeabilitate la aer scade cu creșterea densității betonului.

Pentru o aceeași rezistență la compresiune, cele mai mici valori ale coefficientului de permeabilitate s-au obținut pentru betoanele preparate cu ciment cu adaos de zgură.

Coefficientul de permeabilitate la aer scade cu creșterea rezistenței la compresiune, valori mai mari ale coefficientului obținându-se la betoanele preparate fără aditiv.

Dintre toate betoanele studiate, cele preparate cu ciment cu zgură au structura mai densă, sunt mai puțin permeabile și respectiv mai puțin poroase decât celelalte tipuri de betoane, fapt ce reiese din

rezultatele obținute pentru adâncimea de pătrundere a apei, pentru adâncimea de scurgere a aerului și respectiv pentru coeficientul de permeabilitate a aerului.

Caracteristicile de rezistență și durabilitate prezентate confirmă calitatea betoanelor studiate, în special a betoanelor preparate cu aditiv superplastifiant și respectiv antrenor de aer.

4.1.3. Rezultate obținute pentru rata de exalație a radonului din betoane preparate cu diferite tipuri de cimenturi

Probele de beton preparate cu diferite tipuri de cimenturi au fost testate și din punct de vedere al exalației de radon la vîrstele de 28 zile, 180 zile și 1 an. Rezultatele obținute pentru ratele de exalație a radonului pe unitatea de suprafață a betonului sunt prezентate în figura 4.1.15. Mentionez ca la masurarea exalației s-a utilizat sistemul de masurare a radonului Pylon AB-5, compus din monitor radon model Pylon AB-5 împreună cu o cutie specială în care au fost introduse probele de beton.

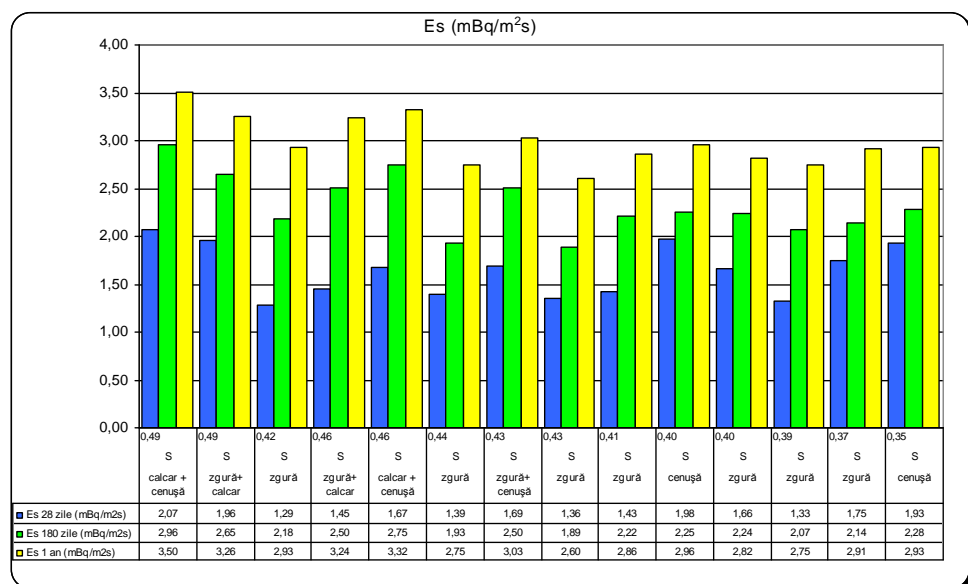


Fig. 4.1.15 - Variația în timp a ratei de exalație pe unitatea de suprafață, pentru betoane preparate cu aditiv superplastifiant

Valorile ratei de exalație cresc în timp, valorile obținute la 28 de zile după preparare fiind cuprinse între (1,29-2,44) mBq/m²s, ajungând ca, la 1 an după prepararea betoanelor, valorile să varieze între (2,33-3,79) mBq/m²s.

Ratele de exalație a radonului pe unitatea de masă a betonului sunt prezентate în figura 4.1.6.

Valorile ratei de exalație Em variază între (7-12,5) mBq/kgh pentru betoanele cu vîrstă de 28 de zile, (11-16,5) mBq/kgh pentru betoanele cu vîrstă de 180 de zile și (14,5-20,5) mBq/kgh pentru betoanele cu vîrstă de 1 an, valorile din partea superioară a intervalelor fiind pentru betoanele preparate fără aditiv.

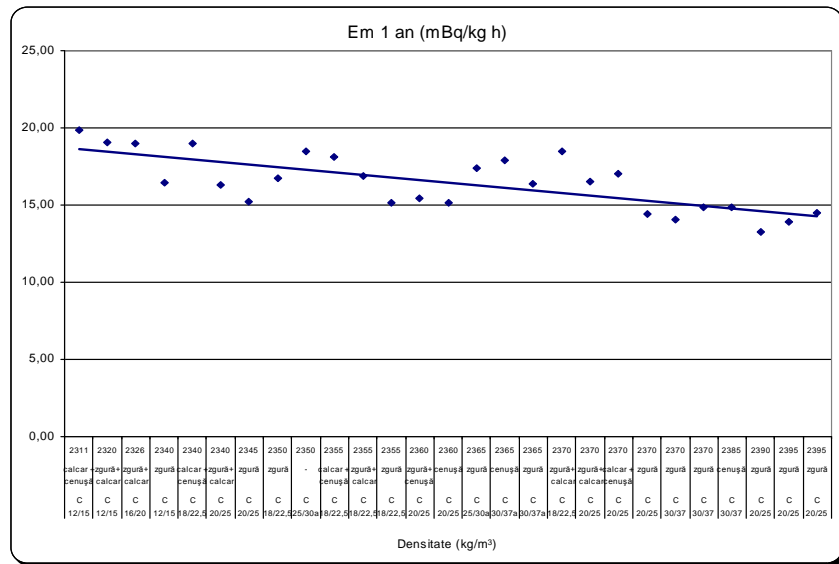


Fig. 4.1.16 - Variatia ratei de exalatie a radonului pe unitatea de masă, la vîrsta de 1 an, în funcție de densitatea betonului

Se observă că, odată cu creșterea densității betonului, rata de exalatie pe unitatea de masă scade, indiferent de vîrstă betonului.

Variatia ratei de exalatie a radonului pe unitatea de masă, în funcție de porozitatea betonului, la diferite vîrste, este prezentată în figura 4.1.17.

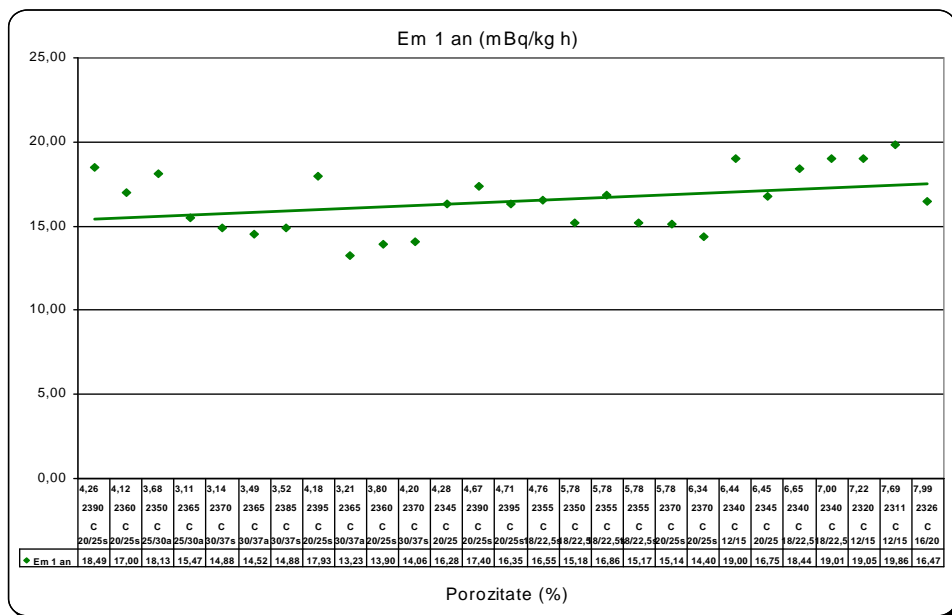


Fig. 4.1.17 - Variatia ratei de exalatie a radonului pe unitatea de masă, la vîrsta de 1 an, în funcție de porozitatea betonului

Valorile ratei de exalatie pe unitatea de masă cresc cu creșterea porozității betonului, indiferent de vîrstă betonului.

Porozitatea betonului scade în timp, mai accentuat pentru betoanele preparate cu ciment cu adao de zgură și respectiv cu cenușă.

S-au obținut valori mari ale porozității, în special pentru betoanele preparate fără aditivi.

Pentru o aceeași clasă de beton, variația ratei de exalatie Em în funcție de compozitia betoanelor este reprezentată în figura 4.1.18.

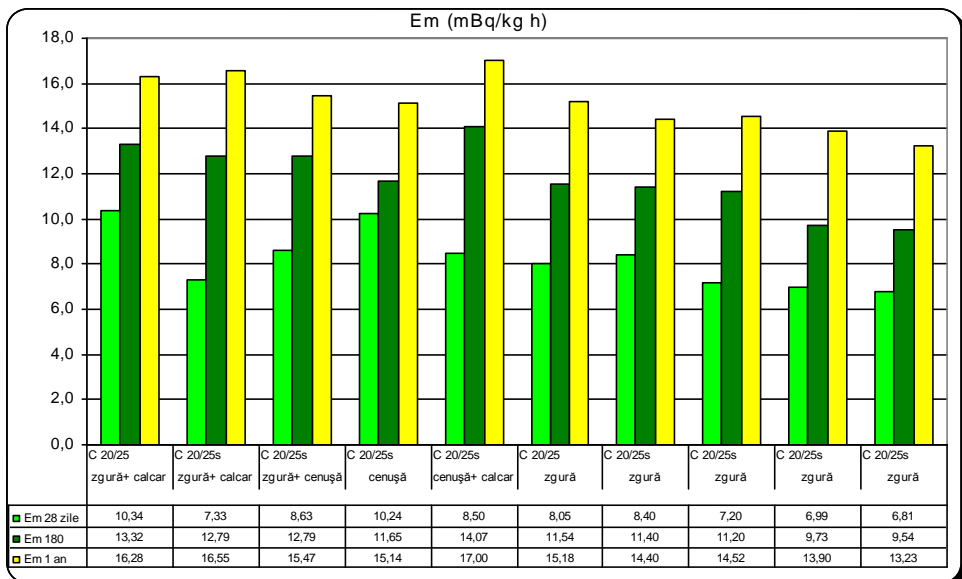


Fig. 4.1.18 - Valorile ratei de exalație pentru betoane de clasa C20/25, preparate cu și fără aditiv superplastifiant (S)

Pentru o aceeași clasă de beton, ratele de exalație a radonului din betoanele preparate cu ciment cu adăos de zgră sunt mai mici decât ale betoanelor preparate cu celelalte tipuri de cimenturi, indiferent de aditivul utilizat.

Valorile ratei de exalație Em variază între (7-12,5) mBq/kgh pentru betoanele cu vârstă de 28 de zile, (11-16,5) mBq/kgh pentru betoanele cu vârstă de 180 de zile și (14,5-20,5) mBq/kgh pentru betoanele cu vârstă de 1 an, valorile din partea superioară a intervalelor fiind pentru betoanele preparate fără aditiv.

Variatarea ratei de exalație a radonului pe unitatea de masă în funcție de coeficientul de permeabilitate la aer a betonului la vârstă de 1 an de la preparare este prezentată în figura 4.1.19.

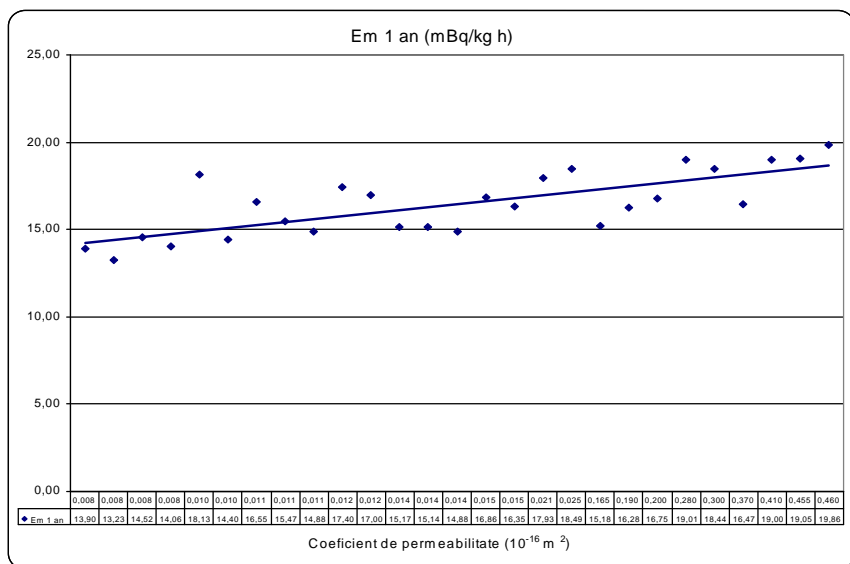


Fig. 4.1.19 - Variatia ratei de exalație a radonului pe unitatea de masă, la vârstă de 1 an, în funcție de coeficientul de permeabilitate la aer

Valorile ratei de exalație pe unitatea de masă cresc cu valorile coeficientului de permeabilitate, indiferent de vârstă betonului.

Rata de exalație a radonului pe unitatea de masă variază liniar cu coeficientul de permeabilitate, obținându-se valori mari ale Em pentru valori ridicate ale coeficientului de permeabilitate, deci pentru betoane cu densitate mică și porozitate mare.

În funcție de raportul A/C, betoanele au rate de exalație diferite, în general acestea fiind mai mari pentru rapoarte A/C ridicate.

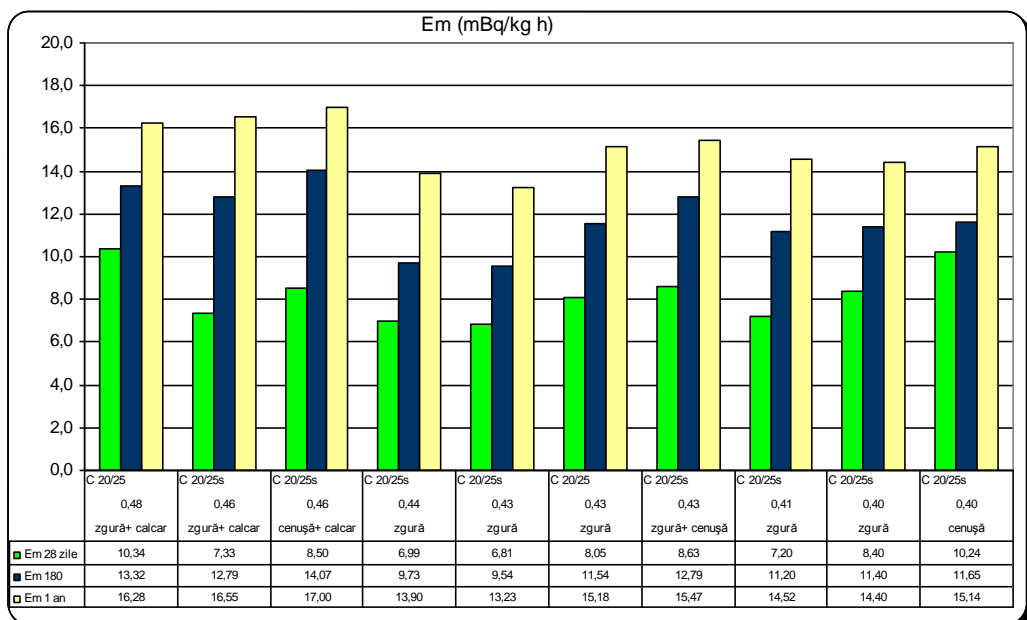


Fig. 4.1.20 - Variatia ratei de exalație a radonului pe unitatea de masă în funcție de raportul A/C, pentru betoane de clasă C20/25

Concluziile acestui program de cercetare sunt sintetizate in schemele prezentate in figurile 4.1.21 - 4.1.23.

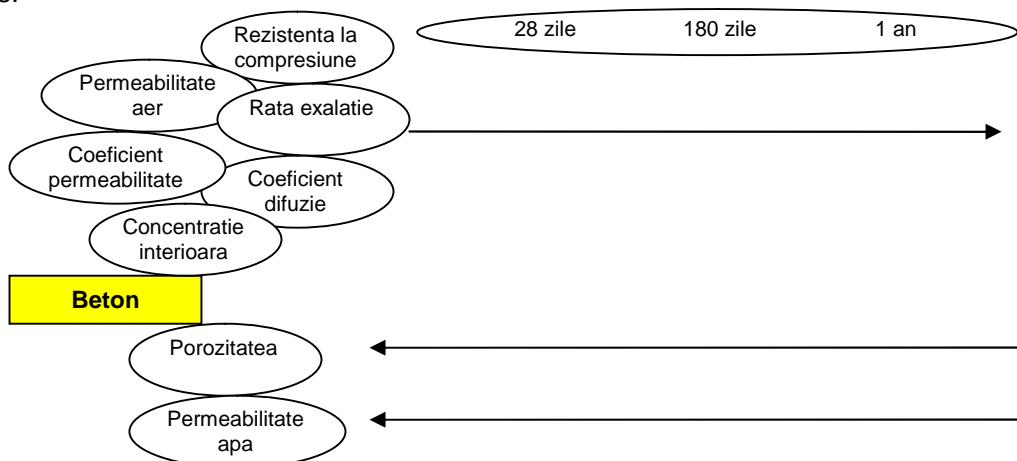


Fig.4.1.21 - Variatia in timp a caracteristicilor betoanelor preparate cu diferite tipuri de cimenturi

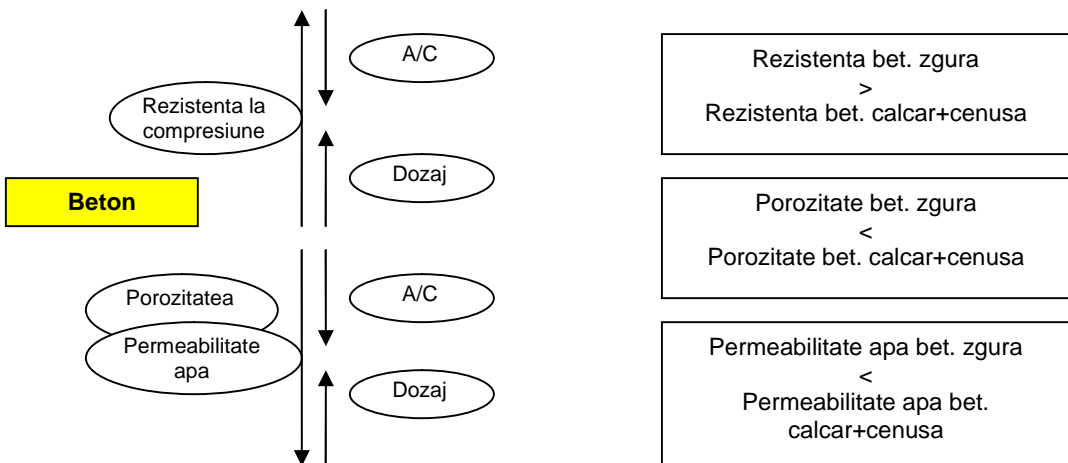


Fig.4.1.22 - Influenta raportului A/C, a dozajului de ciment si a adaosurilor asupra caracteristicilor betoanelor preparate cu diferite cimenturi cu adaosuri

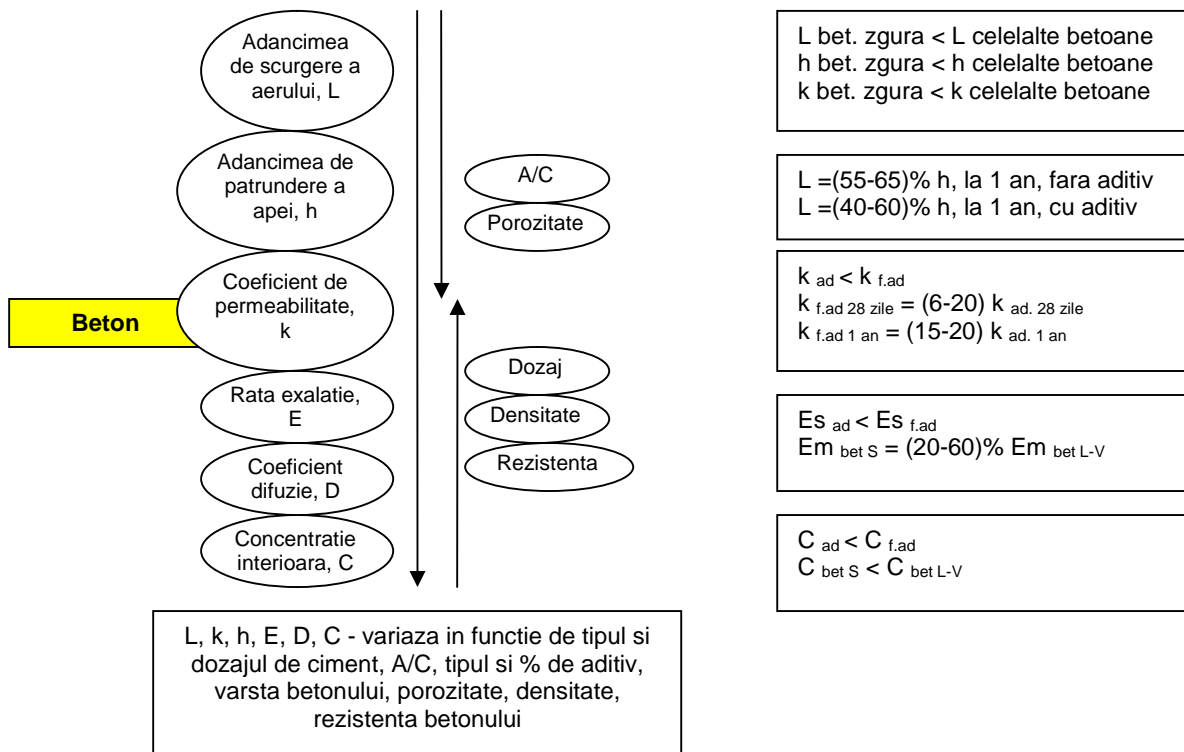


Fig. 4.1.23 - Schitarea rezultatelor obtinute privind corelarea caracteristicilor betoanelor cu rata de exalatie si concentratia de radon din interior

4.2. Influența caracteristicilor betonului asupra transportului radonului

Radonul poate fi transportat datorită diferențelor de concentrație (transport difuziv). Transportul difuziv este considerat a fi principalul proces pentru exalația radonului din materialele de construcție și, de asemenea, se consideră că joacă un rol deosebit în transportul radonului din sol în subsolul clădirii.

Pentru a obține o bună descriere a transportului radonului prin beton sunt necesare mai multe informații despre structura betonului, porozitatea și permeabilitatea sa, procesele care cauzează transportul radonului, interacțiunea radonului cu mediul, factorii care contribuie la generarea radonului, etc.

Caracteristicile betonului (ce depind de compozitia acestuia și, în special, de raportul A/C) care influențează transportul radonului prin beton sunt, în principal, porozitatea, permeabilitatea, difuzia, umiditatea și densitatea.

Pentru betoane menținute în condiții controlate de temperatură și umiditate, porozitatea totală a betonului (Rogers, [111]) se poate calcula cu formula:

$$P_t = 1 - d/G$$

unde:

d = densitatea betonului în condiții controlate de temperatură (20°C) și umiditate (65%) (g/cm^3)
 G = densitatea solidelor ($2,6 \times 10^3 \text{kg}/\text{m}^3$).

4.2.1. Influenta raportului A/C si a densitatii betonului asupra porozitatii aparente si totale a betonului

Cu ajutorul rezultatelor obținute experimental prezentate în cap. 4.1.2, în continuare se prezintă valorile porozitatii aparente și respectiv totale. Probele de beton utilizate în aceste experimente au fost preparate conform normativelor aflate în vigoare la data realizării cercetărilor. De mentionat este faptul că probele au fost mentinute, după preparare și decofrare, 7 zile în apă și apoi până la data încercării (28 de zile și respectiv 1 an) în aer.

Porozitatea totală $P_t = P_{ap} + P_2$, unde P_2 este volumul porilor inchisi. Valorile porozitatii totale sunt mai mari cu 0,01-0,04 decât cele ale porozitatii aparente, $P_2 = 0,01 - 0,04$. Volumul porilor inchisi crește cu reducerea raportului A/C.

În figura 4.2.1 se prezintă valorile obținute pentru porozitatea totală a betonului obținută cu ajutorul relaiei cu Rogers și cele obținute experimental pentru porozitatea aparentă, la 1 an de la turnarea betonului.

Volumul porilor inchisi la varsta de un an de la turnare este mai mare decât cel obținut la varsta de 28 de zile, $P_2 = 0,03-0,05$, pentru $A/C > 0,39$ și respectiv $P_2 = 0,06$, pentru $A/C < 0,37$.

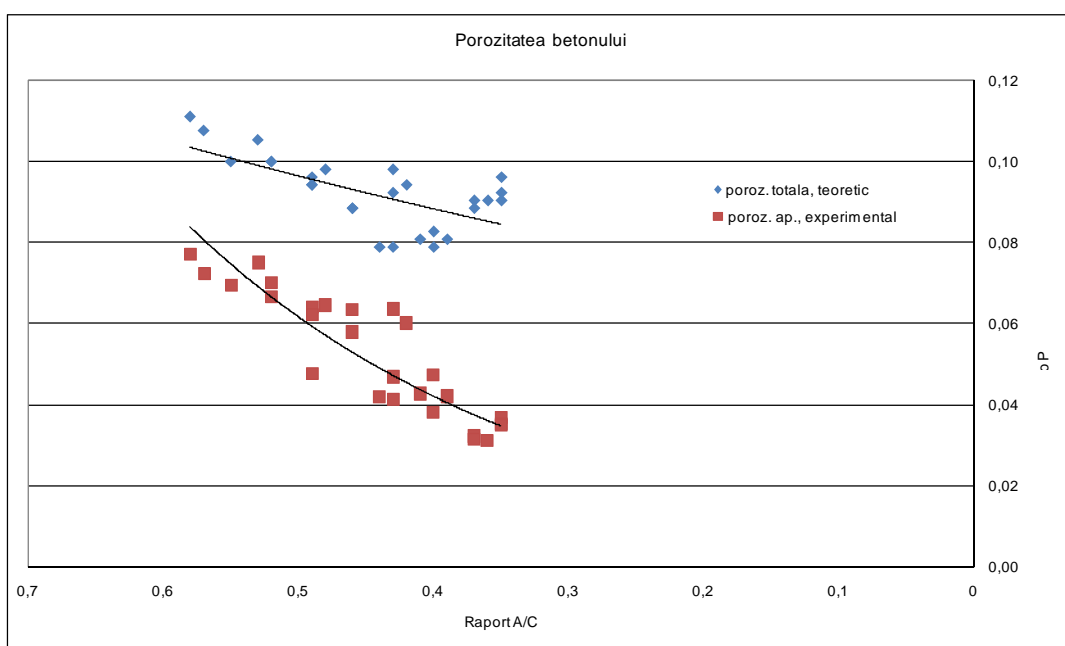


Fig. 4.2.1 - Valorile obținute pentru porozitatea totală a betonului și cele obținute experimental pentru porozitatea aparentă, la varsta de un an

Valorile porozității totale scad mai lent cu reducerea raportului A/C decât cele ale porozității aparente a betonului. Raportul dintre porozitatea aparentă a betonului determinată experimental și porozitatea totală scade cu reducerea raportului A/C.

4.2.2. Influenta raportului A/C si a densitatii betonului asupra coeficientului de permeabilitate

Utilizând rezultatele obținute în cap. 4.1.2, în continuare se face o comparație între valorile obținute experimental și valorile obținute prin calcul pentru coeficientul de permeabilitate utilizând valorile determinate experimental pentru densitatea betonului și raportul A/C.

Coefficientul de permeabilitate la 28 de zile și respectiv 1 an a fost calculat cu ajutorul relaiei Rogers [109] utilizând valorile obținute experimental pentru densitatea betonului:

$$k = 0,22 \exp(-12,4 d)$$

unde d = densitatea betonului, (g/cm^3).

Fata de betoanele preparate cu cimenturi cu adaosuri, cele ce contin cimenturi fara adaosuri, au valori mai mari ale coeficientului de permeabilitate.

La varsta de 1 an de la turnare, betoanele preparate fara aditivi prezinta valori masurate ale coeficientului de permeabilitate mult mai mari decat cele calculate, oricare ar fi raportul A/C si tipul de ciment utilizat.

In cazul betoanelor cu aditivi, valorile determinate experimental pentru coeficientul de permeabilitate sunt mai mici decat valorile teoretice, indiferent de raportul A/C, tipul de aditiv si respectiv tipul de ciment utilizat la prepararea betoanelor.

În figura 4.2.2 se prezintă variațiile coeficientului de permeabilitate, valori determinate experimental vs. valori determinate teoretic în funcție de densitatea betonului măsurată la vîrstă de 28 zile.

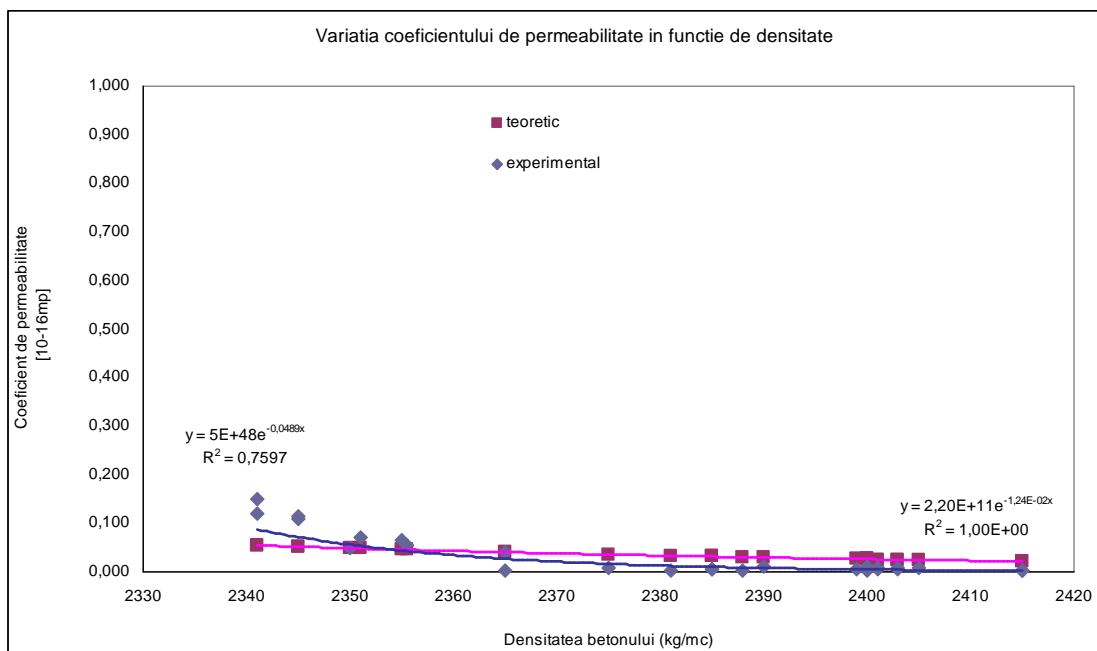


Fig. 4.2.2 - Valori ale coeficientului de permeabilitate, determinate experimental și respectiv teoretic, în funcție de densitatea betonului măsurată la vîrstă de 28 de zile

Pentru betoane cu varste de 28 de zile, valorile obținute experimental pentru coeficientul de permeabilitate sunt asemănătoare celor determinate teoretic.

În figura 4.2.3 se prezintă variațiile coeficientului de permeabilitate, valori determinate experimental vs. valori determinate teoretic în funcție de densitatea betonului măsurată la vîrstă de 1 an.

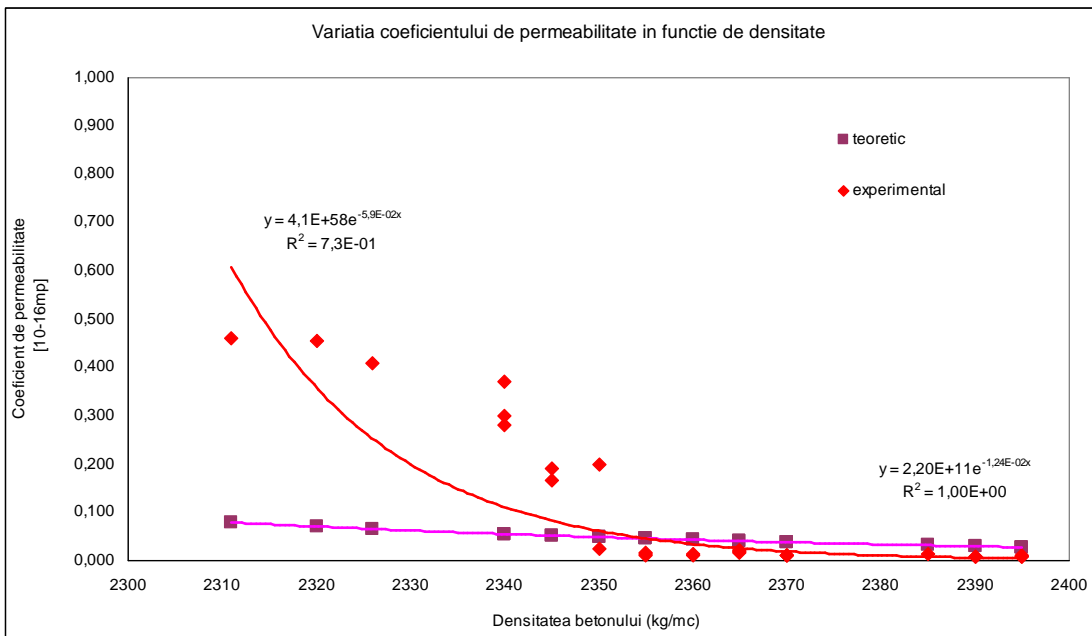


Fig. 4.2.3- Valori ale coeficientului de permeabilitate, determinate experimental și respectiv teoretic, în funcție de densitatea betonului măsurată la vârsta de 1 an

Pentru betoane cu densități mai mari de 2350 kg/m^3 (valori obținute pentru betoane preparate cu aditivi), valorile obținute experimental pentru coeficientul de permeabilitate sunt asemănătoare celor determinate teoretic. Astfel, relația lui Rogers este verificată pentru betoane cu densități mai mari de 2350 kg/m^3 .

În figurile 4.2.4 și 4.2.5 se prezintă variațiile coeficientului de permeabilitate, valori determinate experimental vs. valori determinate teoretic în funcție de raportul A/C obținut la prepararea betoanelor.

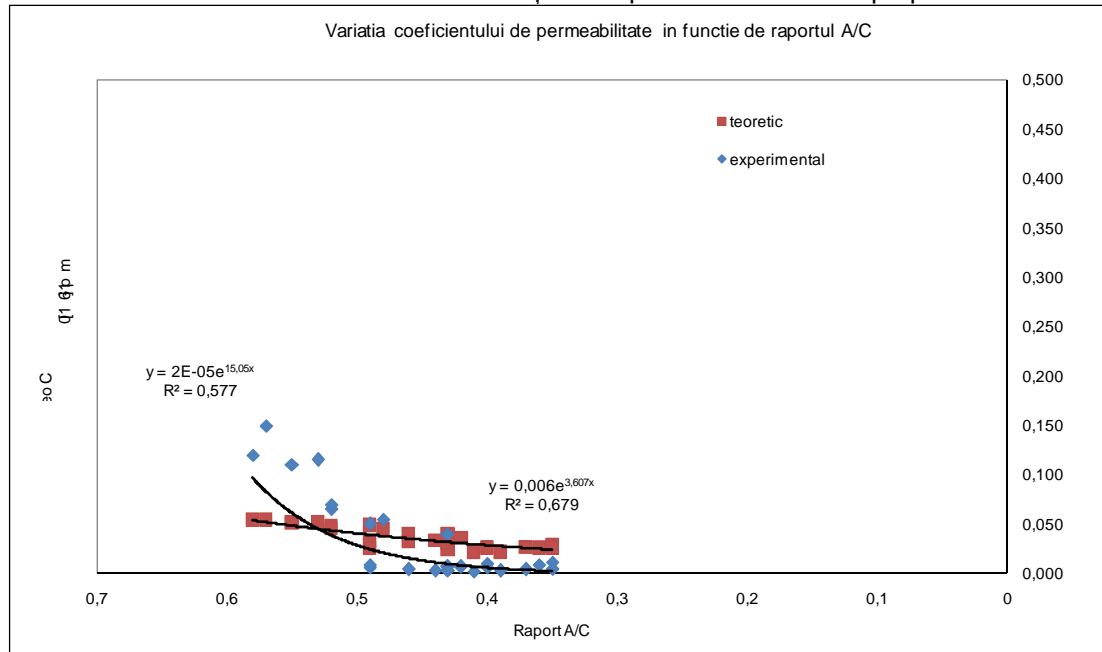


Fig. 4.2.4 - Variațiile coeficientului de permeabilitate, valori determinate experimental și respectiv teoretic, în funcție de raportul A/C, la 28 de zile de la turnarea probelor

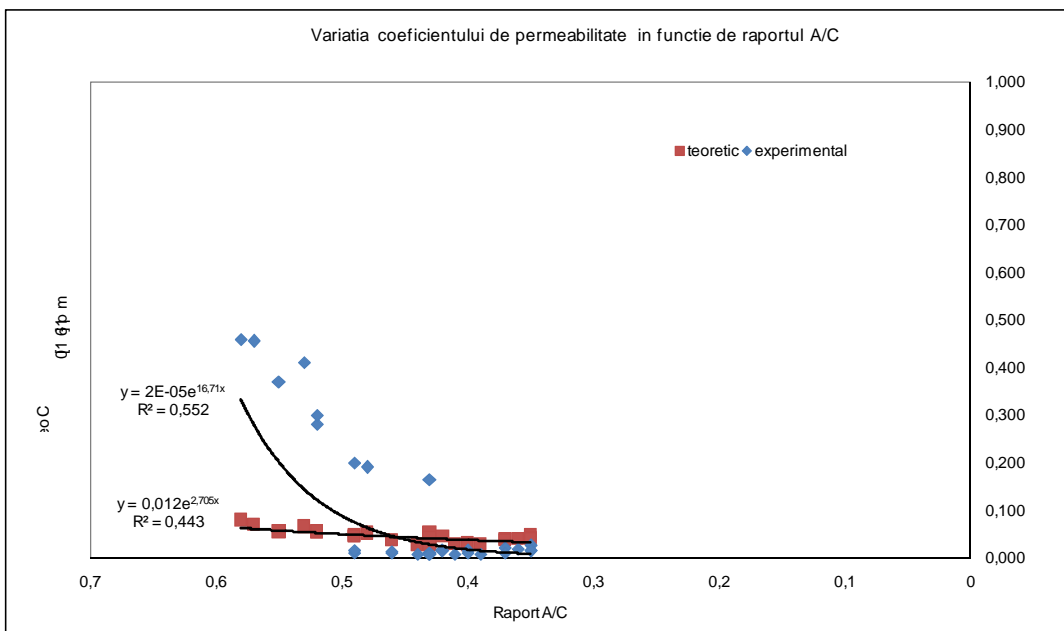


Fig. 4.2.5 - Variatiiile coeficientului de permeabilitate, valori determinate experimental si respectiv teoretic, in functie de raportul A/C, la 1 an de la turnarea probelor

Pentru betoane preparate cu aditivi, cu varste de un an si rapoarte A/C mai mici de 0,45, valorile obtinute experimental pentru coeficientul de permeabilitate sunt asemanatoare celor calculate cu relatia lui Rogers.

Coefficientul de permeabilitate scade cu cresterea dozajului de ciment si implicit cu reducerea raportului A/C.

4.2.3. Influența raportului A/C și a densității betonului asupra coeficientului de difuzie

4.2.3.1. Influența raportului A/C asupra coeficientului de difuzie

Dependența coeficientului de difuzie de raportul A/C a fost determinată de mulți autori. De exemplu, Rogers [109] a gasit o corelare între cei doi parametri (model RAETRAD), și anume:

$$D = 1,5 \times 10^{-10} \exp(11,4 A/C)$$

Pentru rapoarte A/C cuprinse între 0,52 și 0,67, Rogers a obținut valori ale coeficientului de difuzie cuprinse între $1,8 \times 10^{-8}$ și $4,6 \times 10^{-7} \text{ m}^2/\text{s}$. Nielson și Rogers [111] au găsit o relație de dependență între coeficientul de difuzie și raportul A/C și anume:

$$D = 7,7 \times 10^{-10} \exp(8,7 A/C).$$

In figura 4.2.6 se prezinta valorile calculate, utilizand relatiile de mai sus, ale coeficientului de difuzie a radonului pentru rapoartele A/C obtinute in cazul betoanelor preparate cu diferite tipuri de cimenturi.

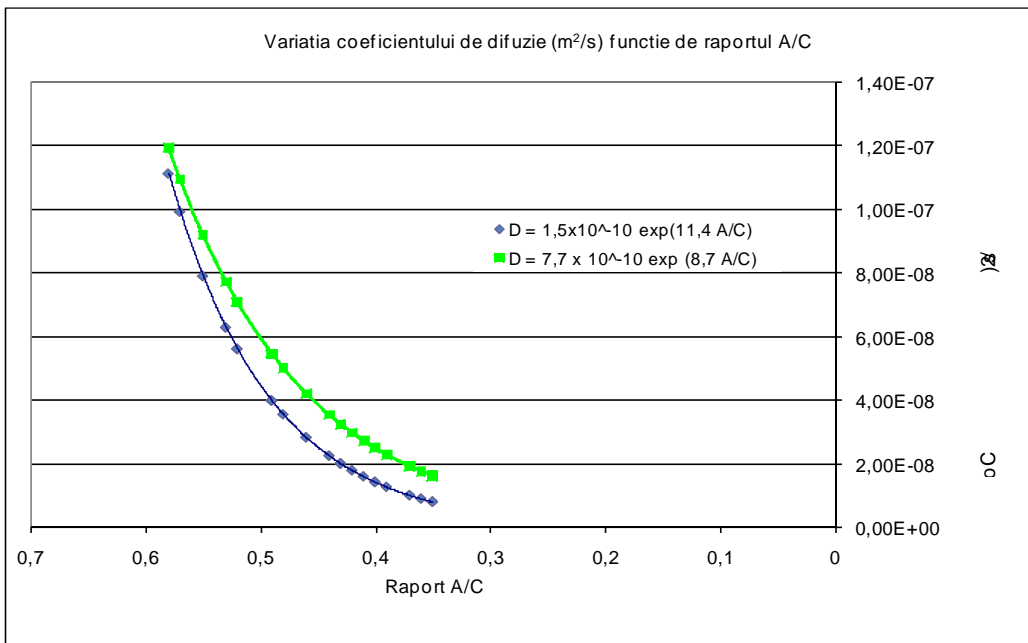


Fig.4.2.6 - Variația coeficientului de difuzie în funcție de raportul A/C

Coefficientul de difuzie scade cu creșterea dozajului de ciment și implicit cu reducerea raportului A/C.

Pentru rapoarte A/C mari, rezultatele obținute prin cele două curbe de corelare sunt apropiate. Valorile obținute prin relația de corelare a lui Rogers sunt mai mici decât cele obținute prin relația Nielson & Rogers.

4.2.3.2. Influența densității betonului asupra coeficientului de difuzie

Dependența coeficientului de difuzie de densitatea betonului este mult mai utilă deoarece densitatea betoanelor este mult mai ușor de determinat pentru betoanele puse în operă. Nielson și Rogers [111] au găsit o astfel de relație de dependență:

$$D = 0,084 \exp (-0,0064d).$$

In figura 4.2.7 se prezinta valorile coeficientilor de difuzie a radonului prin betoane preparate cu diferite tipuri de cimenturi, in functie de densitatea acestora masurata la varsta de 1 an. Coeficientul de difuzie a radonului scade cu creșterea densitatii betonului.

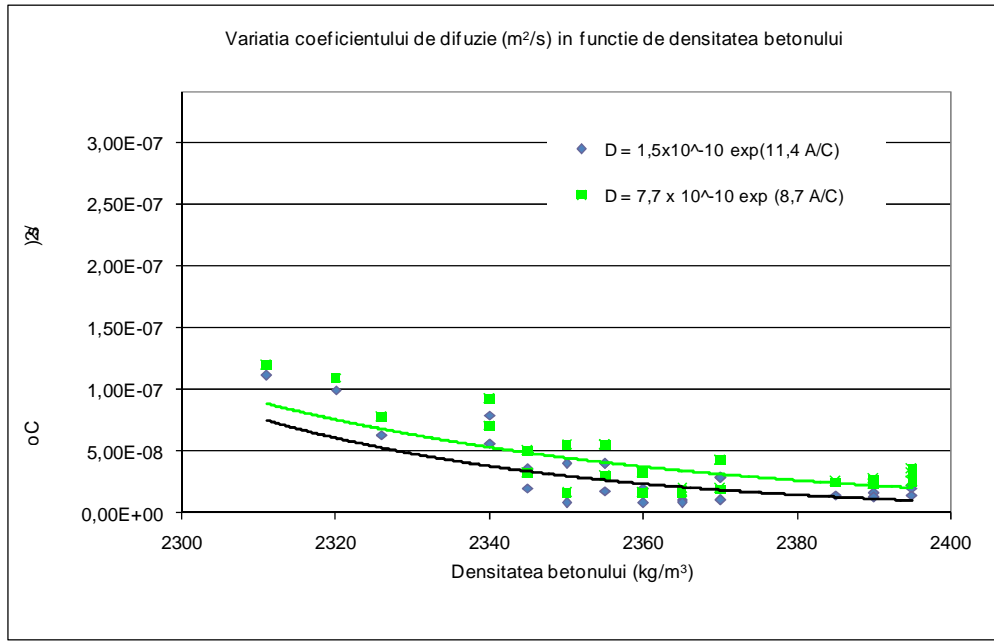


Fig.4.2.7- Variația coeficientului de difuzie în funcție de densitatea betonului, la 1 an

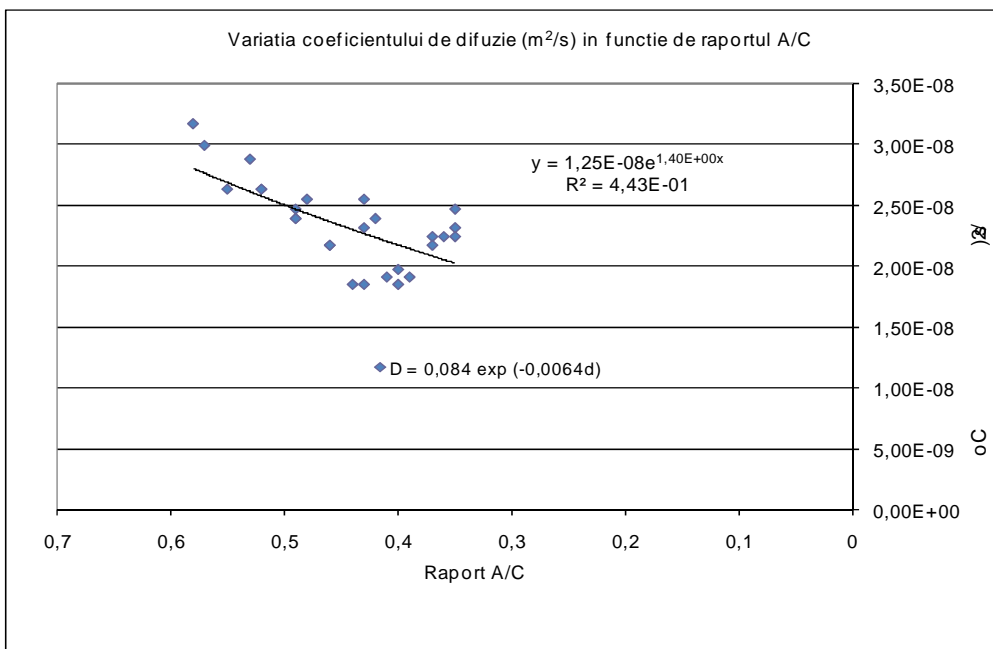


Fig.4.2.8 - Variatia coeficientului de difuzie in functie de raportul A/C, la 1 an

Coeficientul de difuzie scade cu reducerea raportului A/C, indiferent de varsta betonului.

4.2.4. Influența permeabilității betonului asupra coeficientului de difuzie

In figura 4.2.9 se prezinta variatiile coeficientului de difuzie in functie de valorile obtinute pentru coeficientul de permeabilitate masurat la varsta de 1 an.

Coeficientul de difuzie creste liniar cu coeficientul de permeabilitate, indiferent de varsta betonului.

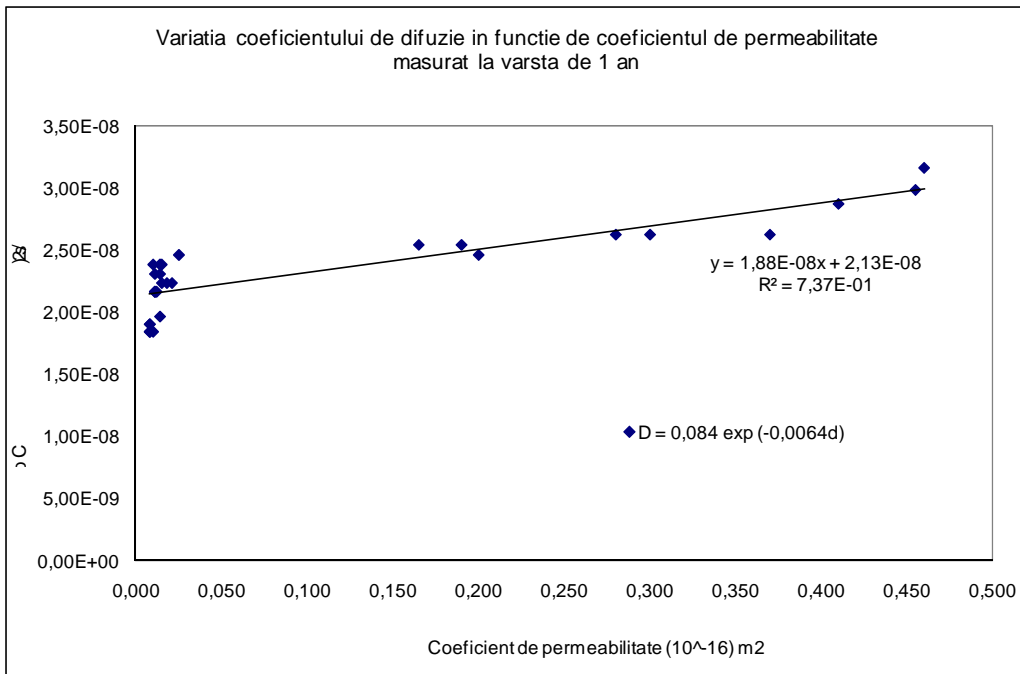


Fig. 4.2.9 - Variatiile coeficientului de difuzie in functie de valorile obtinute pentru coeficientul de permeabilitate masurat la varsta de 1 an

Coeficientii de difuzie a radonului prin beton variază între $1,62 \times 10^{-8}$ și $1,1 \times 10^{-7} \text{ m}^2/\text{s}$ (date obtinute cu relația Rogers) sau, în conformitate cu datele obtinute cu relația Nielson & Rogers (1991), între 8×10^{-9} și $1,1 \times 10^{-7} \text{ m}^2/\text{s}$.

La varsta de 28 de zile, betoanele preparate fara aditivi, cu rapoarte A/C cuprinse intre 0,5 si 0,4, au valori ale coeficientilor de permeabilitate determinate experimental, asemanatoare cu cele determinate teoretic. In cazul betoanelor preparate fara aditivi, cu rapoarte A/C mai mari de 0,5, valorile determinate experimental pentru coeficientul de permeabilitate sunt mai mari decat valorile determinate teoretic. Betoanele preparate cu aditivi au coeficienti de permeabilitate determinati experimental mai mici decat cei calculati cu relatia lui Rogers, indiferent de raportul A/C sau tipul de ciment utilizat la prepararea acestora.

5. CONTRIBUȚIA BETOANELOR LA CONCENTRAȚIA DE RADON DIN INTERIOR

5.1. Determinarea concentrației de radon din interior, cu ajutorul ratei de exalație a radonului din betoane preparate cu diferite tipuri de cimenturi

Cu ajutorul rezultatelor obtinute prin masurarea ratelor de exalație a radonului din beton, prezentate în subcapitolul 5.2 din teza, s-au determinat concentrațiile de radon din interiorul camerei model, acestea fiind prezentate, pentru exemplificare, în figura 5.1.1 pentru betoanele cu varsta 1 an. De mentionat este faptul ca rezultatele obtinute pentru concentratia de radon din aerul interior, datorate exalatiei la 28 de zile si respectiv 180 de zile de la turnarea betoanelor, sunt prezentate in lucrarea in extenso.

La calculul concentratiei interioare de radon s-a utilizat relatia $C = E \times V / \lambda_v$, unde λ_v este rata de ventilare, iar V este volumul clădirii.

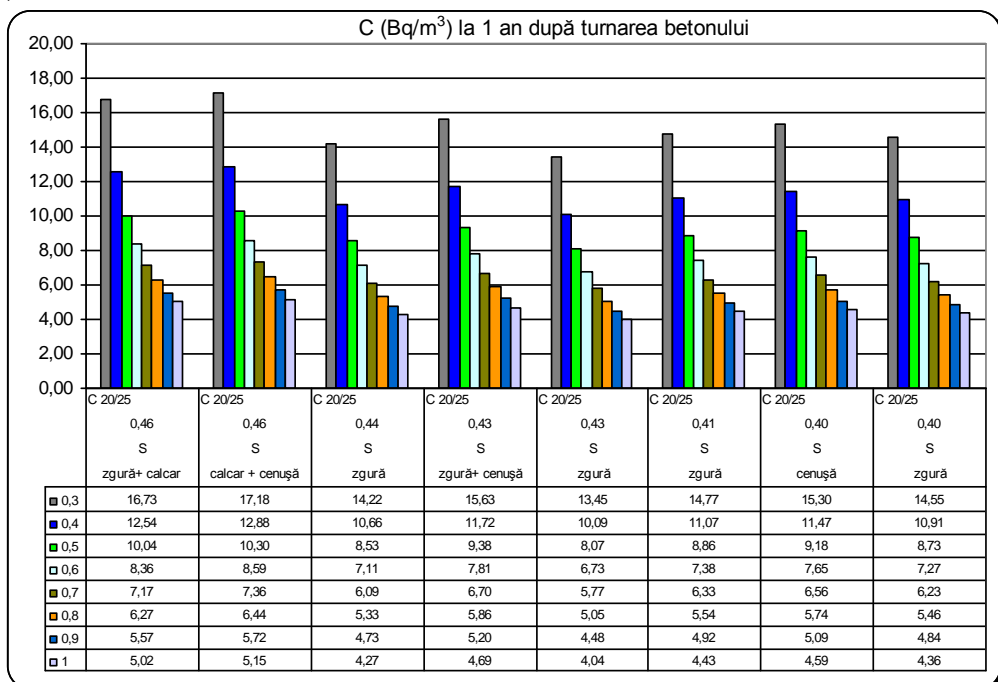


Fig. 5.1.1 - Evoluția concentrației de radon din interior în funcție de rata de ventilare, pereti realizati din beton de clasă C20/25 cu aditiv superplastifiant

Se observă că, în cazul unei camere realizate din betoane preparate cu ciment cu adaosuri de calcar și cenușă, concentrațiile de radon sunt mai ridicate decât în cazul folosirii celorlalte tipuri de betoane preparate cu ciment cu adaosuri de zgură și calcar și respectiv cu ciment cu adaos de zgură, indiferent de vîrstă betoanelor studiate.

Pentru o cameră realizată din beton preparat cu ciment cu adaos de zgură și aditiv superplastifiant, după vîrstă de la 1 an de la turnarea betoanelor, s-a obținut cea mai mică valoare a concentrației de radon, de aproximativ $14 \text{ Bq}/\text{m}^3$, la o rată de ventilare a camerei de $0,3 \text{ h}^{-1}$.

Valoarea maximă obținută pentru concentrația de radon din interior este $20 \text{ Bq}/\text{m}^3$, valoare obținută pentru o cameră realizată din beton preparat fără aditiv cu ciment cu calcar și cenușă, la vîrstă de 1 an de la prepararea acestuia, la o rată de ventilare a camerei egală cu $0,3 \text{ h}^{-1}$.

Dacă nu există căi de intrare a radonului din sol și dacă aerul exterior are o concentrație de 8 Bq/m³ (valoare obișnuită pentru exterior), clădirea poate determina o creștere a concentrației de radon cu până la 28 Bq/m³.

Valorile obținute pentru concentrațiile de radon din interior, provenit din tipurile de betoane testate, nu sunt semnificative.

6. MĂSURI DE REDUCERE A RADONULUI DIN INTERIOR

6.1. Determinări efectuate pe diferite tipuri de membrane rezistente la intrarea radonului

Pentru a testa eficacitatea diverselor bariere împotriva radonului, aplicate pe betoane, au fost turnate cuburi de beton cu latura de 100 mm, caracteristicile acestora fiind prezentate în tabelul 6.1.1. De menționat este faptul ca aceste determinări au fost realizate de autoare în cadrul programului de cercetare-inovare AMTRANS finanțat de Ministerul Cercetării și Educației [3].

Tabelul 6.1.1 – Caracteristicile betoanelor A și B

A: Beton preparat cu ciment II/A-S 32,5R (adaos de zgură)	
B: Beton preparat cu ciment II/B-M (S-V) 32,5R (adaos de zgură și cenușă)	
Dozaj ciment	420 Kg/m ³
Raport A/C	0,5
Apă	210 litri/m ³
Aggregate: sort 0-3 mm	650 Kg/m ³
sort 3-7 mm	425 Kg/m ³
sort 7-16 mm	610 Kg/m ³

Probele au fost menținute 7 zile în apă. După vârsta de 28 zile au fost determinate caracteristicile betoanelor, rezultatele obținute fiind prezentate în tabelul 6.1.2.

Tabelul 6.1.2 – Caracteristicile betoanelor

Proba	Permeabilitatea la aer, k (10 ⁻¹⁶ m ²)	Adâncimea de scurgere a aerului, L (mm)	Adâncimea de pătrundere a apei la 6 barr, h (mm)
A	0,031	12,20	21,00
	0,044	14,70	9,00
	0,013	7,80	15,00
Media	0,029	11,57	15,00
B	0,071	18,60	15,00
	0,082	19,90	23,00
	0,017	9,10	28,00
Media	0,056	15,87	22,00

Câte 2 cuburi din fiecare serie au fost acoperite cu 2 tipuri de bariere. Suprafețele betoanelor nu au fost tratate într-un mod special înaintea aplicării barierelor, aplicarea și uscarea fiind realizate la temperatura camerei.

Toate încercările au fost făcute în aceleași condiții de umiditate și temperatură. S-a folosit sistemul Pylon AB 5.

Cele 2 bariere utilizate în acest experiment sunt:

1) *Produs epoxidic T* – bicomponent pe bază de rășini epoxidice, utilizat ca strat primar (grund) și/ sau ca strat intermediar/ final de protecție;

2) *Vopsea acrilo-stirenică N* – produs monocomponent anticoroziv pe bază de polimeri în dispersie apoașă, utilizată ca strat de protecție și finisare pentru suprafețe de beton, cărămidă, ceramică.

Barierele au fost aplicate în 2 straturi, pe fiecare față a cubului, conform specificațiilor producătorilor.



Având în vedere că structura betonului din cuburi prezintă diferențe, presupunem ca referință rata de exalăție a radonului dintr-un cub de beton neacoperit. Au fost măsurate ratele de exalăție pentru cuburile neacoperite (E_0) și pentru cele acoperite (E) de cele 2 bariere, rezultatele fiind prezentate în tabelul 6.1.3.

Tabelul 6.1.3 - Ratele de exalăție a radonului, proba A

Proba beton A	Rata de exalatie (Bq/s)	Valoare medie (Bq/s)	Reducere (%)
Cub de beton neacoperit	1,83E-05	1,83E-05	-
	1,46E-05		
	1,83E-05		
	2,19E-05		
	1,46E-05		
	1,83E-05		
	2,19E-05		
	1,83E-05		
Cub de beton acoperit cu 2 straturi de produs epoxidic	1,46E-05	1,52E-05	16,67
	1,46E-05		
	1,83E-05		
	1,83E-05		
	1,46E-05		
	1,10E-05		
Cub de beton acoperit cu 2 straturi de produs pe bază de polimeri	1,83E-05	1,77E-05	3,33
	1,83E-05		
	1,46E-05		
	2,19E-05		
	1,46E-05		
	1,83E-05		

Tabelul 6.1.4- Ratele de exalăție a radonului, proba B

Proba beton B	Rata de exalatie (Bq/s)	Valoare medie (Bq/s)	Reducere (%)
Cub de beton neacoperit	1,83E-05	2,28E-05	-
	2,56E-05		
	1,83E-05		
	2,19E-05		
	2,19E-05		
	2,56E-05		
	2,19E-05		
	2,92E-05		
Cub de beton acoperit cu 2 straturi de produs epoxidic	2,19E-05	1,83E-05	20,00
	1,83E-05		
	1,46E-05		
Cub de beton acoperit cu 2 straturi de produs pe bază de polimeri	2,56E-05	2,13E-05	6,67
	2,19E-05		
	1,83E-05		
	1,83E-05		
	2,19E-05		
	2,19E-05		

Rata de exalăție a radonului din cubul neacoperit preparat cu CEM II/B-M 32,5R este mai mare cu 24% față de cea obținută pentru cubul neacoperit preparat cu CEM II/A-S 32,5R. Acest lucru poate fi

explicat prin porozitatea mai mare a betonului preparat cu CEM II/B-M 32,5 R și respectiv permeabilitatea la aer de aproximativ 2 ori mai mare față de cea obținută pentru betonul preparat cu CEM II/A-S 32,5 R.

În cazul cuburilor acoperite cu produsul epoxidic, reducerea ratei de exalăție a fost mai mare cu aproximativ 20 % în cazul cubului B față de cubul A.

Același lucru se observă și în cazul produsului pe bază de polimeri, dar reducerea obținută pentru cubul B este dublă față de reducerea obținută pentru cubul A.

Cel mai important aspect care trebuie semnalat este că, pentru ambele probe (A și B), reducerea obținută prin aplicarea celor 2 componente ale produsului epoxidic este de aproximativ 5 ori mai mare față de cea obținută cu produsul pe bază de polimeri în dispersie apoașă (pentru seria A) și respectiv de aproximativ 3 ori mai mare (pentru seria B).

Rezultatele sunt similare celor obținute de specialiștii de la laboratorul KVI din Olanda.

Concluziile acestui studiu sunt prezentate în figura 6.1.1.

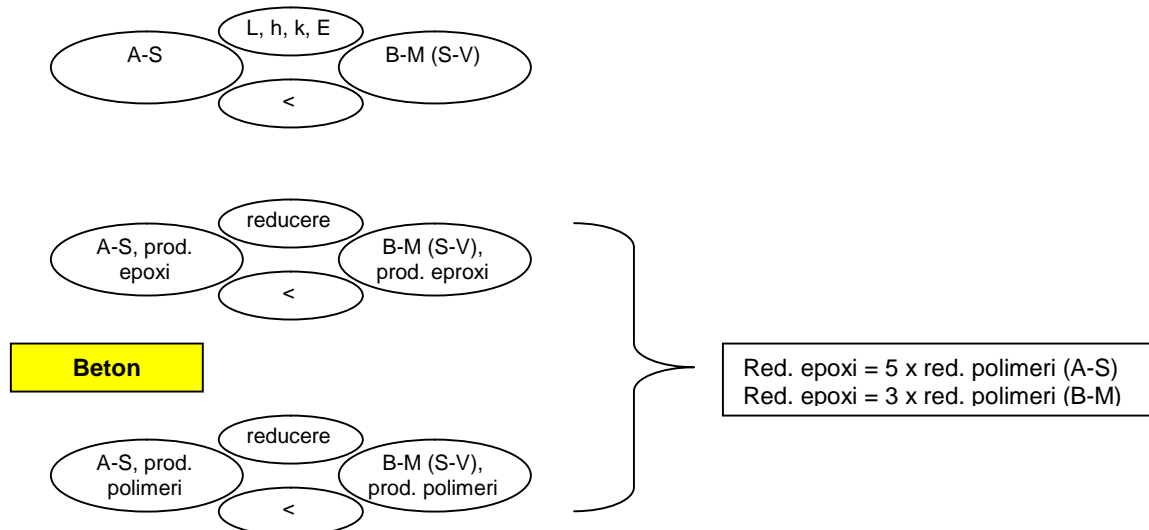


Fig.6.1.1 - Determinări efectuate pe 2 tipuri de membrane rezistente la intrarea radonului

7. CONCLUZII SI CONTRIBUTII PERSONALE

Lucrarea tratează aspecte legate de prezența radonului în materialele de construcții, în special în beton, subliniind influența caracteristicilor materialelor componente betonului (diferite tipuri de cimenturi, agregate), precum și influența caracteristicilor betonului asupra exalăției de radon și respectiv asupra concentrației de radon din interiorul clădirilor. De asemenea, se prezintă rolul factorilor de mediu asupra emisiei de radon din materialele de construcții și, pe scurt, principalele metode de reducere a radonului din clădiri existente și noi.

7.1. Concluzii generale rezultate în urma studiului literaturii de specialitate

Caracteristicile fizice ale betonului care influențează transportul radonului prin beton sunt porozitatea, permeabilitatea, difuzia radonului prin beton, densitatea betonului, raportul apa/ciment, raportul gel/ spațiu.

Principalele idei care se pot extrage în urma studierii literaturii de specialitate sunt:

- În beton, valoarea coeficientului de permeabilitate scade foarte mult la diminuarea raportului apă/ ciment și depinde foarte mult de umiditatea betonului. O schimbare de la starea aproape saturată, la starea de beton uscat determină o creștere a coeficientului de permeabilitate la aer cu aproximativ două ordine de mărime.
- Coeficientul de difuzie se modifică cu vîrstă betonului, deoarece structura poroasă a acestuia se modifică în timp, îndeosebi cât hidratarea cimentului continuă.
- Difuzia gazelor prin beton este puternic afectată de păstrarea în mediu umed, o tratare prelungită a betonului reducând coeficientul de difuzie de aproximativ sase ori.

- Difuzia radonului prin beton poate fi considerata un mecanism important de patrundere a radonului in cladiri. Coeficientul de difuzie a radonului prin pori creste cu raportul apa/ciment al betonului.
- Descreșterea coeficientului de difuzie este rapidă la umidități ridicate, ceea ce înseamnă că, odată cu creșterea cantității de apă în spațiul poros, apare blocarea transportului difuziv.
- Coeficientul de difuzie estimat se schimbă rapid pentru coeficienți de emanație între 0,1 și 0,3 și o grosime a plăcii de beton între 4 și 15 cm.
- Valorile concentrației de radon variază în funcție de rata de ventilație a aerului din interior.
- Eliberarea radonului din beton, într-o clădire, depinde de umiditatea relativă din interior, fiind maximă pentru umiditate cuprinsă între 30 și 75%.
- Concentrația radonului din interior depinde de amplasamentul și neetanșeitatea clădirilor, de permeabilitatea și umiditatea solului, de rata de ventilare a spațiului interior, etc.

Exalația radonului din beton este o combinație intre generarea radonului, care depinde de concentrația de radiu, de coeficientul de emanație a betonului și de tipul materialelor utilizate la prepararea betonului si de transportul radonului prin microstructura betonului, proces condiționat de umiditatea acestuia.

Astfel ca exalația radonului din beton este influențată de concentrația activității de radiu din beton, de coeficientul de emanație, de coeficientul de difuzie a radonului, de structura și finisarea pereților, plăcilor din beton, de capacitatea de ventilare a încăperii, de umiditatea și vârsta betonului, etc.

In ceea ce priveste ratele de exalatie a radonului din beton, se pot formula cateva concluzii si anume:

- Ratele de exalație a radonului din beton sunt dependente de vârsta betonului. Valorile ratelor de exalație pe unitatea de masă cresc în primele 180-720 zile după producerea betoanelor. După această vârstă, ratele de exalație scad în timp.
- Umiditatea aerului, în timpul păstrării betonului, influențează mult rata de exalație. Rata de exalație a radonului crește cu umiditatea până la 70-75%.
- Cenușa folosită la prepararea betonului reduce factorul de exalație a radonului din beton.
- Rata de exalație poate fi redusă într-un anumit tip beton, chiar dacă conținutul de radiu al acestuia este ridicat.
- Dependența de timp a ratei de exalație a radonului din beton este o contribuție a mai multor factori, cel mai important fiind umiditatea betonului. Apa joacă un rol important în stimularea sau întârzierea eliminării radonului în funcție de gradul de saturare al materialului.
- Valorile ratelor de exalație a radonului cresc cu creșterea umidității betonului, îndeosebi pentru umidități între 50-80%.
- Rata de exalație a radonului din beton are o puternică dependență de temperatură, la 50°C fiind de aproximativ 3,5 ori mai mare decât rata de exalație la 20°C ; în general, la temperaturi mai mari de 50°C , rata de exalație nu mai variază.

In lucrare s-au prezentat principalele metode de reducere a radonului din cladiri existente si noi. Recomandările prezentate pe scurt pentru aplicarea tehniciilor de construcție rezistente la radon sunt bazate pe informații obținute din numeroase proiecte de cercetare, aplicate în Europa și, în mare parte, în SUA.

Tehnicile de construcție prezentate se pot aplica pentru clădiri individuale cu unul sau două nivele, cu sau fără subsol, care sunt specifice zonelor rurale sau de la periferia localităților.

Pentru clădiri care urmează a fi construite, combinația polietilenă – carton gudronat poate fi aplicată ca barieră împotriva radonului.

Eficiența aplicării sistemelor de reducere variază între 50-99% în funcție de metoda folosită, de caracteristicile clădirii și ale solului, de factorii climatici, etc.

Din cercetările experimentale și din analizele beneficiu – risc efectuate pentru fiecare metodă propusă s-a ajuns la concluzia că aplicarea sistemului de depresurizare sub placă de beton este cea mai eficientă pentru reducerea radonului.

7.2. Concluzii rezultate in urma cercetarilor experimentale efectuate

Principalele idei ce se pot formula in urma cercetarilor experimentale realizate pe mai multe tipuri de adaosuri, utilizate la prepararea cimenturilor, pe cimenturi cu sau fara adaosuri si respectiv pe betoane realizate cu diferite tipuri de cimenturi sunt prezentate in continuare.

Adaosuri

Pentru un acelasi tip de adaos, rezultatele obtinute variaza datorita surselor diferite din care acesta provine. De asemenea, se observa valorile ridicate ale radionuclizilor pentru zgura si cenusă, comparativ cu cele obtinute pentru calcar.

Cimenturi

- Contributia adaosurilor testate s-a evaluat prin adaugarea acestora la fabricarea diferitelor tipuri de cimenturi. Astfel, s-au testat cimenturi fara adaosuri si cimenturi cu adaosuri de zgura, cenusă, calcar, zgura+calcar, puzzolana+calcar, zgura+cenusă. Cimenturile testate sunt fabricate in Romania, de diferite fabrici, procentele de adaosuri utilizate pentru un acelasi tip de ciment variind de la o fabrica la alta.
- Cimentul cu adaos de cenusă, CEM II/A-V 42,5R, are o valoare a concentrației activității de radu mai mare sau egala cu valoarea maximă admisă, in functie de sursa și respectiv de procentul de cenușă utilizat la fabricarea cimentului.
- In ceea ce priveste cimentul cu adaos de zgura, CEM II/A-S 32,5R acesta are concentrații de radu cuprinse între 45 și 66 Bq/kg, diferențe datorate surselor și procentelor de zgură utilizate la fabricarea cimentului.
- Toate tipurile de cimenturi testate au valori mult mai mici ale concentrației de thoriu și respectiv potasiu față de valorile maxime admise în România.
- Cel mai mic indice de radioactivitate s-a obținut pentru cimentul cu adaos de calcar, CEM II/A-LL 32,5R, valoare care reprezintă 50% din valoarea maximă admisă.
- Cimenturile fără adaos, CEM I 42,5R, au indici de radioactivitate cuprinși între 0,31 și 0,34, valori mai mari decât cele obtinute pentru cimentul cu adaos de calcar, rezultate corelate cu cele obtinute pentru clincher și respectiv calcar.
- In cazul cimenturilor cu adaos de zgură și calcar, s-au obtinut valori ale indicelui de radioactivitate între 0,33 - 0,39 datorită procentelor diferite de zgură utilizate la fabricarea cimenturilor.
- Cimenturile cu adaos de zgură, CEM II/B-S 32,5R, au indici de radioactivitate de 0,36 și respectiv 0,37, sensibil mai mari decât valoarea obținută (0,34) pentru CEM II/A-S 32,5R, diferență datorată procentului mai mare de zgură al CEM II/B-S 32,5R.
- In cazul CEM II/A-S 32,5R, valorile obținute pentru indicii de radioactivitate sunt 0,45 și respectiv 0,39, valori datorate surselor diferite de zgură utilizate.
- Cimentul cu adaos de puzzolană și calcar, CEM II/B-M (P-LL) 32,5R, are indicele de radioactivitate de 0,43, valoare care reprezintă 86% din valoarea maximă admisă.
- In cazul cimenturilor cu adaos de cenușă, CEM II/A-V 42,5R, se observă ca valorile indicelui de radioactivitate sunt apropiate de valoarea maximă admisă.

Aggregate

Valorile obtinute pentru cele 4 sorturi de aggregate utilizate la prepararea betoanelor, pentru radionuclizii Ra-226, Th-232 si K-40 sunt mult mai mici decat valorile maxime admise in Romania.

Cu ajutorul valorilor obtinute pentru cimenturi si aggregate si respectiv a procentelor de aggregate utilizate la prepararea betoanelor si a cantitatii de ciment folosit pentru fiecare tip de beton testat, se poate estima concentratia activitatii radionuclizilor datorata betonului folosind reteta de preparare a betonului.

Betoane. Indici de radioactivitate

In cazul betoanelor s-a observat ca durata de mentinere a acestora in apa influenteaza concentratiile activitatii radionuclizilor si respectiv indicii de radioactivitate. Astfel, pentru betoane preparate cu acelasi tip de ciment, valorile indicilor de radioactivitate obtinuti pentru betoane mentinute 7 zile in apa dupa decofrarea acestora si apoi in aer pana la data incercarii variaza intre 0,25 si 0,38, pentru betoane mentinute 2 zile in apa obtinandu-se un indice de radioactivitate mai mare cu 30%. Cresterea duratiei de mentinere in apa determina imbunatatirea microstructurii betonului.

Sporirea dozajului de ciment utilizat la prepararea betoanelor conduce la cresterea indicelui de radioactivitate. Pentru un acelasi dozaj de ciment si tipuri diferite de cimenturi se observa ca betoanele

mentinute 7 zile în apă și apoi în aer, au un indice de radioactivitate ce variază între 0,25 (dozaj de ciment de 320 kg/m³) și 0,38 (dozaj de ciment de 400 kg/m³).

Betoane. Rezistența la compresiune

Caracteristicile de rezistență prezentate confirmă calitatea betoanelor studiate, în special a betoanelor preparate cu aditiv superplastifiant și respectiv antrenor de aer.

Pentru o aceeași clasă de beton, se observă că betoanele preparate cu ciment cu adaos de zgură au o rezistență la compresiune mai mare decât a celorlalte betoane, indiferent dacă sunt sau nu preparate cu aditiv. Rezistențe la compresiune mai scăzute s-au obținut în cazul betoanelor preparate cu ciment cu adaosuri de calcar și cenușă. Desigur, un rol important îl are și rezistența cimentului.

Betoane. Porozitate

Porozitatea scade în timp, mai accentuat pentru betoanele preparate cu ciment cu adaos de zgură și respectiv cu cenușă comparativ cu betoanele preparate cu zgură și calcar.

Betoane. Permeabilitatea la apă și la aer

Dintre toate betoanele studiate, cele preparate cu ciment cu zgură au structura mai densă, sunt mai puțin permeabile și respectiv mai puțin poroase decât celelalte tipuri de betoane, fapt ce reiese din rezultatele obținute pentru adâncimea de pătrundere a apei, pentru adâncimea de scurgere a aerului și respectiv pentru coeficientul de permeabilitate a aerului.

Permeabilitatea de aer este influențată de timp, în special în cazul betoanelor de rezistențe mici și moderate.

Comparând betoanele preparate cu același dozaj de ciment, cele preparate cu ciment cu adaos de zgură prezintă adâncimi de scurgere a aerului mai mici decât celelalte tipuri de betoane studiate, indiferent dacă sunt sau nu preparate cu aditivi. În general, adâncimi ridicate de scurgere a aerului s-au obținut pentru betoanele preparate cu ciment cu adaosuri de calcar și cenușă.

Adâncimea de scurgere a aerului variază în funcție de tipul de ciment, de tipul de aditiv și de vîrstă betonului.

Valorile obținute pentru adâncimea de scurgere a aerului reprezintă, în medie, aproximativ 10-65% din valoarea înălțimii pătrunderii apei determinată pentru probele supuse unei presiuni de 4, 8 sau 12 barr. În cazul betoanelor preparate fără aditiv, acest interval variază între 30-65%, pentru betoanele preparate cu aditiv superplastifiant 10-60%, iar pentru cele cu aer antrenat 15-55%, valorile crescând în timp.

Adâncimea de pătrundere a apei și respectiv adâncimea de scurgere a aerului scad cu reducerea raportului A/C.

În cazul betoanelor preparate fără aditiv, la dozaje mari de ciment, de 400-470 kg/m³, se observă o creștere mai lentă a adâncimii de scurgere a aerului în timp decât în cazul betoanelor preparate cu dozaje mici de ciment, în special în cazul betoanelor preparate cu cimenturi cu zgură. Aceleași concluzii se pot trage și pentru betoanele preparate cu aditiv superplastifiant.

Și în cazul betoanelor preparate cu aditiv antrenor de aer, cele cu ciment cu adaos de zgură au o adâncime de scurgere a aerului mai mică decât celelalte betoane studiate.

Betoane. Coeficient de permeabilitate

Pentru betoanele preparate cu aditiv superplastifiant și respectiv antrenor, valorile obținute pentru coeficientul de permeabilitate sunt cu câteva ordine de mărime mai mici decât cele obținute pentru betoanele fără aditiv.

Diminuirea coeficientului de permeabilitate este cu atât mai rapidă cu cat raportul A/C este mai mic. Prin folosirea aditivilor la prepararea betoanelor se obțin rapoarte A/C mai mici și implicit caracteristici de rezistență și durabilitate îmbunătățite.

Coefficientul de permeabilitate urmează aceeași evoluție ca și adâncimea de scurgere a aerului, cu valori mai mici pentru betoanele preparate cu ciment cu zgură, pentru un același dozaj de ciment.

Coefficientul de permeabilitate evoluează în timp, între vîrstele de 28 zile și 1 an, creșterile fiind cuprinse între 25%-60%. Evoluții mai lente s-au obținut pentru betoanele preparate cu aditiv superplastifiant și ciment cu adaos de zgură și respectiv pentru betoanele preparate cu aditiv antrenor de aer și ciment cu adaos de cenușă.

Pentru betoanele preparate fără aditiv, la vîrstă de 28 de zile, coefficientul de permeabilitate la aer are valori de 6-20 ori mai mari față de valorile coefficientului de permeabilitate obținut pentru betoane preparate cu aditiv, la rapoarte A/C similare.

La vîrsta de 1 an, valorile obținute pentru coeficientul de permeabilitate a betoanelor preparate cu aditiv sunt mai mici de 15-20 ori față de valorile obținute pentru betoanele fără aditiv, la rapoarte A/C similare.

Coefficientul de permeabilitate la aer scade cu creșterea densității betonului și respectiv cu creșterea rezistenței la compresiune, valori mai mari ale coeficientului obținându-se la betoanele preparate fără aditiv, la rapoarte A/C similare. Cresterea duratei de menținere în apă reduce permeabilitatea și porozitatea betonului prin imbunatatirea microstructurii acestuia.

La varsta de 28 de zile, betoanele preparate fără aditivi, cu rapoarte A/C cuprinse între 0,5 și 0,4, au valori ale coeficientilor de permeabilitate determinate experimental, asemănătoare cu cele determinate teoretic. În cazul betoanelor preparate fără aditivi, cu rapoarte A/C mai mari de 0,5, valorile determinate experimental pentru coeficientul de permeabilitate sunt mai mari decât valorile determinate teoretic.

Betoanele preparate cu aditivi au coeficienti de permeabilitate determinati experimental mai mici decat cei calculati cu relatia lui Rogers, indiferent de raportul A/C sau tipul de ciment utilizat la prepararea acestora.

La varsta de 1 an de la turnare, betoanele preparate fără aditivi prezintă valori masurate ale coeficientului de permeabilitate mult mai mari decât cele calculate, oricare ar fi raportul A/C și tipul de ciment utilizat. În cazul betoanelor cu aditivi, valorile determinate experimental pentru coeficientul de permeabilitate sunt mai mici decât valorile teoretice, indiferent de raportul A/C, tipul de aditiv și respectiv tipul de ciment utilizat la prepararea betoanelor.

Pentru betoane cu varste de 28 de zile, valorile obținute experimental pentru coeficientul de permeabilitate sunt asemănătoare celor determinate teoretic.

Pentru betoane preparate cu aditivi, cu varste de un an și rapoarte A/C mai mici de 0,45, valorile obținute experimental pentru coeficientul de permeabilitate sunt asemănătoare celor calculate cu relația lui Rogers.

Pentru betoane cu densități mai mari de 2350 kg/m^3 (valori obținute pentru betoane preparate cu aditivi), valorile obținute experimental pentru coeficientul de permeabilitate sunt asemănătoare celor determinate teoretic. Relația lui Rogers verificându-se pentru betoane cu densități mai mari de 2350 kg/m^3 .

Betoane. Rata de exalatie

În ceea ce privește rata de exalatie a radonului din beton, se pot formula cîteva concluzii care pot fi sintetizate după cum urmează:

- Rata de exalație a radonului pe unitatea de masă se reduce cu creșterea densității betonului, indiferent de vîrsta betonului.
- Valorile ratei de exalație pe unitatea de masă cresc cu porozitatea betonului, indiferent de vîrsta betonului.
- Valorile ratei de exalație E_m cresc în timp, cu valori între (7-12,5) mBq/kgh pentru betoanele cu vîrstă de 28 de zile, (11-16,5) mBq/kgh pentru betoanele cu vîrstă de 180 de zile și (14,5-20,5) mBq/kgh pentru betoanele cu vîrstă de 1 an, valorile din partea superioară a intervalelor fiind obținute pentru betoanele preparate fără aditiv.
- Rata de exalație a radonului pe unitatea de masă variază liniar cu coeficientul de permeabilitate, obținându-se valori mari ale E_m pentru valori ridicate ale coeficientului de permeabilitate, deci pentru betoane cu densitate mică și porozitate mare.
- Ratele de exalație obținute pentru betoanele preparate cu ciment cu adaosuri de calcar și cenușă sunt cu aproximativ 20-60% mai mari decât valorile obținute pentru betoanele preparate cu ciment cu adaos de zgură.
- Rata de exalație a radonului din beton variază în funcție de tipul și procentul de adaos din ciment, de dozajul de ciment, de existența, tipul și dozajul aditivului, de raportul apă/ciment, de porozitatea, densitatea și vîrsta betonului.
- Valorile ratei de exalație pe suprafață cresc în timp, valorile obținute la 28 de zile după preparare fiind cuprinse între (1,29-2,44) $\text{mBq/m}^2\text{s}$, ajungând ca, la 1 an după prepararea betoanelor, valorile să varieze între (2,33-3,79) $\text{mBq/m}^2\text{s}$.
- Adâncimea de pătrundere a gazului și rata de exalație a radonului variază în funcție de tipul de ciment, de tipul de aditiv și de vîrsta betonului.
- Rata de exalație a radonului, adâncimea de pătrundere a apei și respectiv adâncimea de pătrundere a gazului scad cu reducerea raportului A/C.
- Ratele de exalație a radonului din betoane preparate fără aditiv sunt mai mari decât cele preparate cu aditiv superplastifiant sau antrenor de aer, la rapoarte A/C similare.

- În cazul betoanelor preparate cu ciment cu zgură s-au obținut valori mai mici ale ratei de exalație a radonului decât în cazul celorlalte tipuri de betoane. Cele mai mari valori s-au obținut pentru betoanele preparate cu adaosuri de calcar și cenușă.
- Ratele de exalație a radonului din beton variază liniar cu adâncimea de pătrundere a gazului în beton.

Factorii care influențează rata de exalatie a radonului din beton sunt prezentati in fig. 7.2.1. Se poate observa dependenta acestia de caracteristicile betonului, de factorii de mediu si de materialele componente ale betonului.

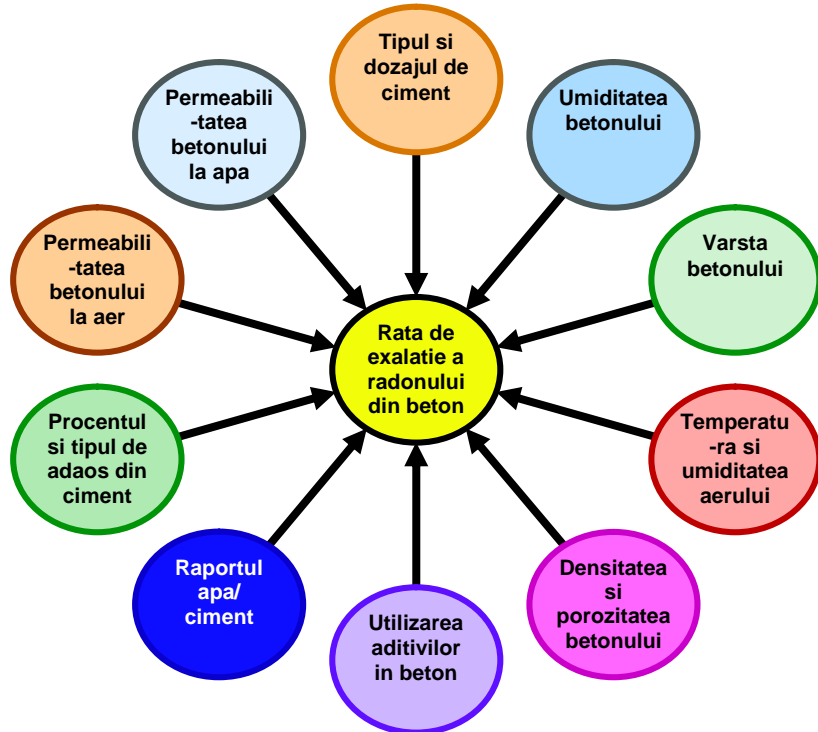


Fig. 7.2.1 - Factorii care influențează rata de exalatie a radonului din beton

Betoane. Coeficient de difuzie

Pentru rapoarte A/C determinate experimental, cuprinse între 0,38 și 0,58, s-au obținut valori ale coeficientului de difuzie cuprinse între $8,1 \times 10^{-9}$ și $1,1 \times 10^{-7} \text{ m}^2/\text{s}$.

Coeficientul de difuzie a radonului scade cu creșterea densității betonului și respectiv cu reducerea raportului apa/ciment.

Coeficientul de difuzie crește liniar cu coeficientul de permeabilitate, indiferent de varsta betonului.

Betoane. Concentrații de radon în interior

În cazul unei incaperi realizate din betoane preparate cu ciment cu adaosuri de calcar și cenușă, concentrațiile de radon sunt mai ridicate decât în cazul folosirii celorlalte tipuri de betoane preparate cu ciment cu adaosuri de zgură și calcar și respectiv cu ciment cu adaos de zgură, indiferent de vîrstă betoanelor studiate.

Cele mai mici concentrații de radon au fost obținute în incaperi realizate din betoane cu ciment cu adaos de zgură, mai ales în cazul betoanelor preparate cu aditiv.

Pentru o cameră realizată din beton preparat cu ciment cu adaos de zgură și aditiv superplastifiant, după vîrsta de la 1 an de la turnarea betoanelor, s-a obținut cea mai mică valoare a concentrației de radon, de aproximativ $14 \text{ Bq}/\text{m}^3$, la o rată de ventilare a camerei de $0,3 \text{ h}^{-1}$.

Valoarea maximă obținută pentru concentrația de radon din interior este $20 \text{ Bq}/\text{m}^3$, valoare obținută pentru o cameră realizată din beton preparat fără aditiv cu ciment cu calcar și cenușă, la vîrstă de 1 an de la prepararea acestuia, la o rată de ventilare a camerei egală cu $0,3 \text{ h}^{-1}$.

Dacă nu există căi de intrare a radonului din sol și dacă aerul exterior are o concentrație de $8 \text{ Bq}/\text{m}^3$ (valoare obișnuită pentru exterior), clădirea poate determina o creștere a concentrației de radon cu până la $28 \text{ Bq}/\text{m}^3$.

Valorile obținute pentru concentrațiile de radon din interior, provenit din tipurile de betoane testate, nu sunt semnificative.

Betoane. Bariere împotriva radonului

In ceea ce privește determinările efectuate pentru a testa eficacitatea diverselor bariere împotriva radonului, s-au obținut reduceri semnificative prin utilizarea produselor epoxidice aplicate pe fetele probelor de betoane preparate cu cimenturi cu adaosuri de zgura și respectiv zgura și cenușă.

7.3. Contribuții proprii

Principalele contribuții ale autoarei, ale caror rezultate sunt prezentate în teza la capituloare 4, 5 și 6, se referă la:

- Stabilirea influenței adaosurilor din cimenturi, a cimenturilor și agregatelor asupra radioactivității betoanelor;
- Corelarea unor caracteristici de rezistență (rezistență la compresiune) și durabilitate (porozitate, permeabilitate la apă și aer) ale betoanelor preparate cu cimenturi cu diferite adaosuri și diferite tipuri de aditivi cu ratele de exalare a radonului;
- Determinarea influenței dozajelor de ciment și raportului A/C asupra exalării de radon;
- Stabilirea influenței raportului A/C, a densității și permeabilității betonului asupra difuziei radonului;
- Stabilirea influenței ratei de exalare din betoane preparate cu diferite tipuri de cimenturi asupra concentrației de radon din interior;
- Determinarea reducerii ratei de exalare a radonului cu ajutorul produselor epoxidice.

Din datele prezentate în teza se poate observa dependența concentrațiilor radionuclizilor și respectiv a indicelui de radioactivitate de tipurile și procentele de adaosuri utilizate la fabricarea cimenturilor, în special în cazul folosirii cenușii și a zgurii. În cazurile utilizării adaosurilor cu concentrații ridicate de radionuclizi, trebuie să se determine procentele acestora ce se pot folosi la fabricarea cimenturilor, procente care nu determină depășirea limitelor admise în România.

De asemenea, în urma cercetărilor experimentale efectuate se pot formula câteva concluzii legate de influența caracteristicilor betonului asupra transportului de radon (figura 7.3.1).

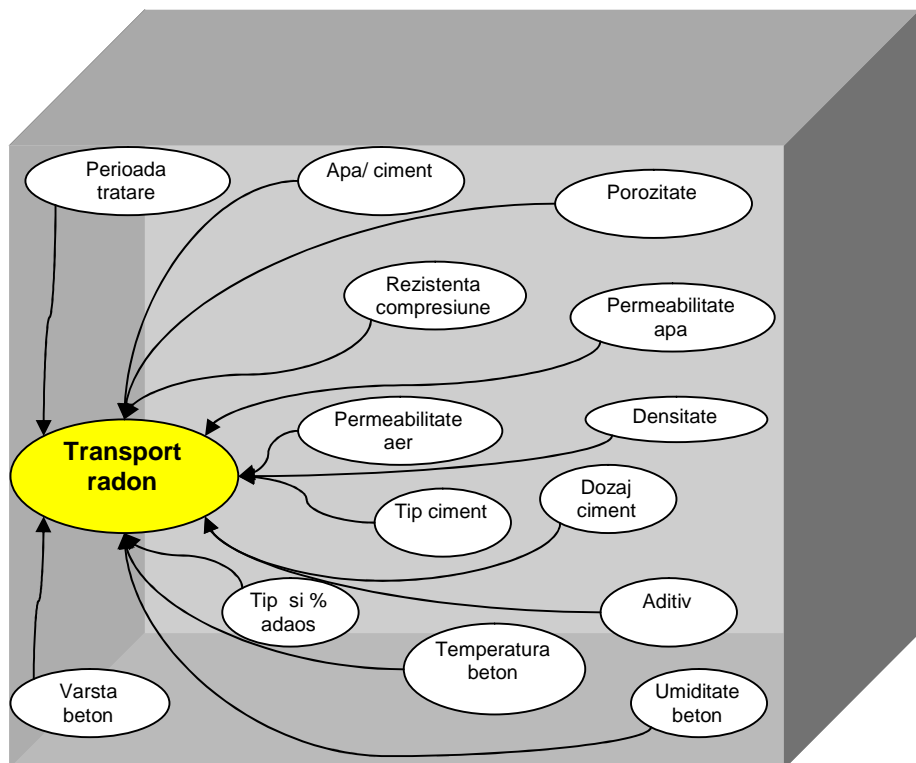


Fig.7.3.1 - Dependenta transportului de radon din beton de caracteristicile acestuia

La prepararea betoanelor trebuie utilizati aditivi, in conformitate cu legislatia in vigoare. Aditivii determina o distributie mai uniforma a particulelor de ciment in cadrul amestecului de beton, reducand raportul A/C si determinand astfel rezistente la compresiune mai mari, o structura interna imbunatatita si mai putin poroasa.

De remarcat este faptul ca tratarea umeda 7 zile a betoanelor preparate cu cimenturi cu adaosuri conduce la imbunatatirea microstructurii betonului si implicit la reducerea exalatiei de radon si a concentratiei de radon din interior.

Prin rezultatele obtinute, se confirma calitatea betoanelor preparate cu cimenturi cu zgura, chiar daca rezultatele obtinute pentru zgura in ceea ce priveste continutul radioactiv nu prevedea acest lucru. Betoanele preparate cu ciment cu adaos de zgura sunt mai putin permeabile la apa si aer, au porozitate mai mica decat a celorlalte tipuri de betoane studiate, au rata de exalatie redusa si determina o concentratie de radon in interior mai mica decat celelalte tipuri de betoane (figura 7.3.2).



Fig. 7.3.2 - Concentratia de radon din interior in functie de tipurile de adaosuri utilizate la fabricarea cimenturilor

Un parametru foarte important in relatia beton - radon este raportul apa/ ciment, raport care influenteaza caracteristicile betonului si implicit concentratia de radon din interiorul constructiilor.

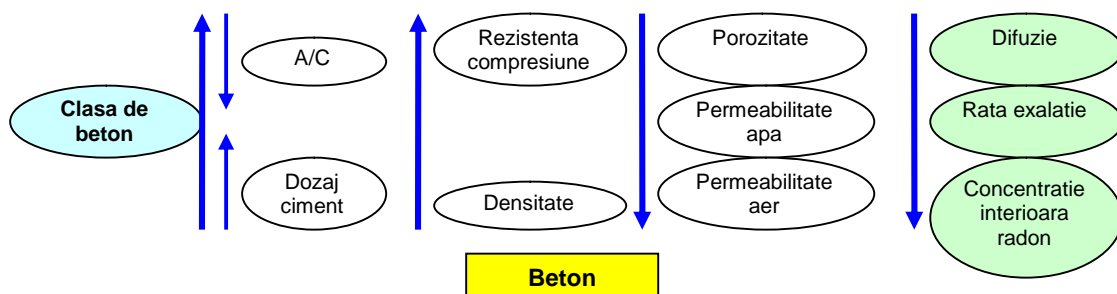


Fig.7.3.3 - Influenta clasei de beton asupra difuziei, ratei de exalatie si concentratiei interioare de radon

Concluzionand rezultatele obtinute in cadrul cercetarilor experimentale, din figura 7.3.3, se poate observa mai usor importanta cresterii clasei de beton in reducerea concentratiei de radon din interiorul constructiilor.

BIBLIOGRAFIE

1. Aldenkamp F.J., Stoop P., Sources and transport of indoor radon - Measurements and mechanism, PhD thesis, University of Groningen, Netherlands, 1994;
2. Andersen Claus E., Radon-222 Exhalation from Danish Building Materials: H + H Industri A/S Results, Risø National Laboratory, Roskilde, Denmark, August 1999;
3. Apostu A., Cosma C., Georgescu D., Solutii tehnico-construcitive pentru proiectarea constructiilor noi amplasate în zone cu caracteristici radioactive din punct de vedere al asigurarii sanatatii ocupantilor, AMTRANS, 5B01, MEC, 2003-2005;
4. ASRO, NE 012-1, Normativ pentru producerea betonului si executarea lucrarilor din beton, beton armat si beton precomprimat - Partea 1: Producerea betonului
5. ASRO, SR EN 1008 - Apa de preparare pentru beton
6. ASRO, SR EN 12620 - Agregate pentru beton
7. ASRO, SR EN 197-1 – Ciment. Partea 1. Compozitie, specificatii si criterii de conformitate ale cimenturilor uzuale
8. ASRO, SR EN 934-2 - Aditivi pentru beton
9. ASRO, STAS 2414 – Betoane. Determinarea densitatii, compactitatii, absorbtiei de apa si porozitatii betonului intarit
10. ASTM E1465 - 08a Standard Practice for Radon Control Options for the Design and Construction of New Low-Rise Residential Buildings;
11. ASTM E2121 - 08, Standard Practices for Installing Radon Mitigation Systems in Existing Low-Rise Residential Buildings;
12. Azimi Dariush, Prediction of Seasonal Radon Concentration from Weekly Screening Measurements, Indoor Built Environment no.3, vol.5/1996;
13. Barnea, M., Calciu, AI., Ecologie umana, sanatatea populatiei umane in interdependenta cu mediul, editura medicala, Bucuresti 1997;
14. BEIR VI National Research Council, Health effects of exposure to radon, National Academy of Sciences, Washington DC, 1999;
15. Berissi R, Bonnet G& Grimaldi G., Mesure de la porosite ouverte des beton hidrauliques". Bull. Liasoon Labor. Pout Chausse. No 142 (Mars-Avr.1986) 59-67;
16. Bochicchio F., McLoughlin J.P., Piermattei S., Radon in indoor air, European Comission, Report EUR 16123, p.1-50, 1995;
17. BRE, Radon new build : model solution no.1, BRE Report BR 211;
18. BRE, How to reduce Radon Levels in Your Home , 2000;
19. BRE, A Guide to reducing Radon Levels in the Home, Environmental Protection UK, 2003;
20. BRE, Radon new build: model solution nr. 2 -Full protection, BRE Report BR 211;
21. Brooks James R. - Radon and Your Home, March, 1998
22. Build M., Olivier J.P, Conception des betons: La structure poreuse. Presses Ponts et Chausses, Paris 1992.
23. Chen C.J., Weng P.S., Chu T. C. Radon Exhalation Rate from Various Building Materials, Health Physics 64 (1993) 613;
24. Chiosila, I., Radioecologie, managementul accidentului nuclear, Editura Universitatii Bucuresti, 1996;
25. CNCAN: <http://www.cncan.ro/bd/norme/2005>;
26. Cohen B.L., A Catalog of Risks Extended and Updated, Health Physics, Vol. 61, p. 317-335, 1991;
27. Cosma C., Apostu A., Georgescu D., Begy R.– Evaluarea radioactivitatii diferitelor tipuri de cimenturi din Romania, Revista Romana de Materiale 2 (39) /2009, ISSN 1583-3186;
28. Cosma C., Dancea F., Jurcut T., Ristoiu D., Determination of radon-222 emanation fraction and diffusion coefficient in concrete using accumulation chambers applied radiation and isotopes, 54/2001;
29. Cosma C., Jurcut T., Radonul si mediul înconjurator, Editura Dacia 1996;
30. Cosma C., Poffijn A., Szacsavai K., Indoor radon exposure in Transylvania (Romania), Proceedings of IRPA Regional Congress, Brasov, Romania, 24-28 September 2007;
31. Cosma C., Szacsavai K., Dinu A., Ciorba D., Dicu T., Suciu L., Preliminary integrated indoor radon measurements in Transilvania, Isotopes in Environmental and Health Studies, 45, p. 1-10, 2009;
32. Cozmuta I., Cosma C., Meesen G, Asupra masuratorilor retrospective de 222Rn, Lucrare de Disertatie, 1996;
33. Cozmuta I., E.R. Van der Graff and R.J. Meijer, Modelling Radon Transport in Concrete;

34. Cozmuta I., ER van der Graaf, RJ de Meijer, Experimental study on the moisture dependence of radon - release rates of concrete
35. Cozmuta I., Radon Generation and Transport - A journey through matter, dec.2001;
36. Cozmuta I., Radon transport in concrete, web.
37. Darby S, Hill D, Auvinen A, Barros-Dios J.M, Baysson H. et. al, 2006, Residential radon and lung cancer- detailes results of a collaborative analysis of individual data on 7148 persons with lung cancer and 14208 persons without lung cancer from 13 epidemiologic studies in Europe. Scandinavian Journal of Work, Environment and Health, 32, p.1-84, 2006;
38. Department of Nuclear Safety, Factors Affecting Radon Entry and Final Concentrations, Illinois, 1998.
39. Duenas C. et al., Release of Rn-222 from some soils, Annales Geophysicae 15/1997;
40. Dwivedi K.K. et al., Measurement of Indoor Radon in Some Dwellings in Aizawl (India), Indoor Environment no.4-6/1995;
41. Electric-Warrior Pauline, Indian Radon Pilot Project, Jicarilla Apache Nation, Environmental Protection Office;
42. EPA, A Physician's Guide - Radon (The Health Threat with a Simple Solution), sept. 1993;
43. EPA, Concrete, Fly-ash and the Environment Proceedings, 1988;
44. EPA, A Citizen's Guide to Radon (The Guide to Protecting Yourself and Your Family from Radon), may 1992;
45. EPA, Build Radon Out, 2001;
46. EPA, EPA Assessment of risk from radon in homes, EPA 402-R-03-003, United States Environmental Protection Agency, 2003;
47. EPA, Model Standards and Techniques for Control of radon in New Residential Buildings, March 1994;
48. EPA, Model Standards and Techniques for Control of Radon in New Residential Buildings, U.S. EPA, Air and Radiation (6604-J), EPA 402-R-94-009, Martie1994;
49. EPA, Radon în New Home Construction - A Guide for Installing Affordable Radon Control System în New Homes, Hazardous Materials and Waste Management Division Radiation Management Unit;
50. EPA, Radon Mitigation Standards, oct. 1993, revised april 1994;
51. EPA, Radon Reduction în New Construction - An Interim Guide, aug. 1997;
52. EPA, Radon Resistant Construction Techniques for New Residential Construction. Technical Guidance, EPA/625/2-91/032, February 1991;
53. EPA, Radon-Resistant Construction For New Homes, web;
54. Ferlay J, Autier P, Boniol M, Heanue M, Colombet M, Boyle P, Estimates of the cancer incidence and mortality in Europe 2006, Annals of Oncology, 18, p. 581-592, 2007;
55. Field R.W, Krewski D, Lubin J.H, Zielinski J.M, Alavanja M, Catalan V.S, Kloz J.B, Letourneau E.G, Lynch C.F, Lyon J.L, Sandler D.P, Schoenberg J.B, Steck D.J, Stolwijk J.A, Weinberg C, Wilcox H.B., An overview of the North American case-control studies of residential radon and lung cancer, J Toxicol Environ A., 69(7), p. 599-631, 2006;
56. Figg, J., Methods of measuring the air and water permeability of concrete. Mag. Concrete. Res. 25(85) (1973) 213-214;
57. Fleischer R.L. , Moisture and radon emanation, Health Physics 52/1987;
58. Frumkin H., Samet J.M., Environmental Carcinogens: radon. CA Cancer J Clin, 51, p. 337-44, 2001;
59. Gadd M.S. and Borak T.B., In-situ determination of the diffusion coefficient of Rn-222 in concrete, Health Physics vol.68 nr.6/95
60. Gheorghe Raluca, Milu Constantin, Modoran Georgeta, Gheorghe Dan, Dobrescu Elisabeta, The additional exposure due on the use of uncommon Building Materials in Romania; Rom. J. of Biophysics, 3, 157 (1993),
61. Hansen AJ, Ottassen NS&Petersen CG., Gas Permeability of concrete in situ; theory&practice ACI SP - 82 (1984) P543-556;
62. Haquin Gustavo, Natural Radioactivity and Radon in Building Materials;
63. Henschel, Bruce, Radon Reduction Techniques for Detached Houses, Technical Guidance, E.P.A., Jan. 1988;
64. Hilsdorf, H.K., Durability of concrete - a measurable quantity IABSE Rep 57(1) (1989) 111-123;
65. Hofmann W., Overview of radon lung dosimetry, Radiat. Prot. Dosim., 79, p. 229-236, 1998;
66. Hong CZ and Parrott LJ - Air permeability of cover concrete and the effect of curing (British Cement Association - october 1989);

67. Hoshino M., Institutul Tehnologic Hokkaido, Japonia 1998, 21, pag. 336-340;
68. Iacob O., Grecea C., Botezatu E., Population exposure to inhaled radon and thoron progeny, The natural radiation environment, NRE - VII, p. 232-237, 2005;
69. ICRP, Protection Against Radon-222 At Home And At Work. Publication 65, Pergamon Elsevier, (1993);
70. Ionescu Ion , Ispas Traian, Proprietatile si tehnologia betoanelor. Editura tehnica, 1997
71. Jacobi W., Activity and potential a energy of 222Rn and 220Rn daughters in different air atmosphere, Health Physics, 22, p. 441-450, 1972;
72. Janson MPM et al., Modelling Rn Transport in Dutch Dwellings, RIVM, Dec 1998
73. Jonassen N. and McLaughlin J.P., Exhalation of Radon-222 from Building Materials and Walls, in: The Natural Radiation Environment 111, Vol. 2, Symp. Proc. (Edited by T. F. Gesell and W. M. Lowder), Houston (1978);
74. Kormos Fiammetta et al., Studii privind determinarea constituentilor monori din cenusile de termocentrala din Romania, Revista Romana de Materiale vol. XXXIII nr.1/2003;
75. Kovler et al., Radon Exhalation of Cementitious Materials Made with Coal Fly Ash: Part 1 -Scientific Background and Testing of the Cement and Fly Ash Emanation, J. Environ. Radioact. 82 (2005) 321;
76. Kovler K et al., Natural Radionuclides in Building Materials available in Israel, Building Environ. 37 (2002) 531;
77. Kovler K., Radiological Constraints of Using Building Materials and Industrial by-Products in Construction, Constr. Build. Mater., 2008;
78. Kovler, K., Radioactivity from Building Materials;
79. Kresl, M., Concentration of Radon in the Atmospheric Ground Layer and its Migration in Rocks, Projects no.31121, Grant Agency of the Academy of Sciences of Czech Republic, 1991-1993
80. Kropp I., Relations Between Different Types of Permeability and Selected Durability Characteristics of Concrete, Draft Report, Tilem TC 116 - PCD (November 1990);
81. Ladygiue R. et.al, Radioactivity measurements in the Radiation protection Centre, Lithuania;
82. Lawrence, C.D., Transport of Oxygen Through Concrete in Chemistry and Chemically - related properties of cement (British Ceramic Society, London 1984);
83. Leung J. K. C., Tso M. Y. W., and Ho C. W., Radon Action Level For High-Rise Buildings, Health Phys. 76 (1999);
84. Marcu, GH., Marcu, T., Elemente radioactive, poluarea mediului si riscurile iradierei, Editura Tehnica, Bucuresti 1996;
85. Mehta K.P., Monteiro P.J.M., Concrete-Microstructure, properties and materials, editia 3, McGraw Hill, NY, 2003;
86. Meng, Universitatea Tehnica, Aachen, Germania, 1996, 29, pag. 195-205;
87. Mensi R., Scoala nationala de ingineri, Tunisia, P. Acker, A. Attolou, LCPC, Paris, Franta, 1988, vol.21, pag.3-12;
88. Milu C., Masurarea expunerii la radon, Curierul de Fizica 15, 2, 7 (1995)
89. Molin Ch., Evaluation of Field Test Methods for Gas Permeability: Draft Report RILEM TC 116 PCD (July 1990);
90. Mustonen R., Pennanen M., Annanmaki M. and Oksanen E., Enhanced Radioactivity of Building Materials, Final Report of the contract No 96-ET-003 for the European Commission, Radiation and Nuclear Safety Authority -STUK, Finland, 1997, Radiation Protection 96;
91. NCRP 103, Control of Radon in Houses, National Council of Radiation Protection, Bethesda, MD, 1989, pg.11;
92. Neville A., Proprietatile betonului, Ed. Tehnica, Bucuresti, 2002;
93. Nicoara, Simona, Mocsy, Ildiko, Some aspects of Indoor air Quality in Romania, Indoor Built Environment, vol.6, no.4/1997;
94. NP 008-97 - Normativ privind igiena compozitiei aerului în spații cu diverse destinații, concentrația de substanțe poluanțe în interiorul unităților funcționale;
95. Oncescu, M., Panaitescu, I., Dozimetria și ecranarea radiatiilor Roentgen și gama, Academia Română, Bucuresti 1992;
96. Ordinul ministrului sanatății nr. 381/2004 privind aprobarea Normelor sanitare de bază pentru desfășurarea în siguranță a activităților nucleare;
97. Ordinul ministrului sanatății nr. 51/1983;
98. RILEM / IUPAC, Structura porilor și proprietăților materialelor, Praga, septembrie 18-21, 1973;
99. RILEM, Materiale și structuri, Efectul încarcării asupra modului de rupere al betonului. R.N. Swamy, Universitatea din Sheffield, UK 1989, 127, pag. 15-22;
100. RILEM, Materiale și structuri, Caracterizarea materialelor poroase;

101. RILEM, Materiale si structuri, Determinarea proprietatilor higroscopice ale pastelor de ciment întarire. Veronique Baroghel, Bernand Perrin, LCPC, Paris, Franta, 1997, 30, pag. 340-348;
102. RILEM, Materiale si structuri, Diferente înregistrate la raportul apa/ciment, porozitate si din punct de vedere al aspectului microscopic între stratal superior si cel inferior al interfetei pasta-agregat;
103. RILEM, Materiale si structuri, Influenta mediului de întarire a betonului asupra porozitatii pastei de ciment. R.G. Palet, D. C. Killoh, British Cement Association, Slough, United Kingdom, 1988, vol.21, pag.192-197;
104. RILEM, Materiale si structuri, Întarirea betonului: analiza si model;
105. RILEM, Materiale si structuri, Materiale eterogene: reguli de comportare. Etienne Guyon, Scoala superioara de fizica si chimie industriala, Paris, Franta, 1988, 21, pag.89-105;
106. Roelofs L. M. M.; Scholten L. C., The effect of aging, humidity, and fly-ash additive on the radon exhalation from concrete, Health Physics, ISSN 0017-9078, 1994, vol. 67, no.3, pp. 266-271 (18 ref.);
107. Rogers V.C. and Nielson K.K. - Multiphase radon generation and transport in porous materials, Health Physics, 60:807-815, 1991
108. Rogers V.C. and Nielson K.K., Technical Basis for a candidate Building Materials Radium Standards, EPA/600/SR-96/022, martie 1996.
109. Rogers V.C. et al. - Radon Generation and Transport Through Concrete Foundations - EPA/600/SR-94/175, November 1994;
110. Rogers V.C. et al., Radon diffusion coefficients for aged residential concretes, Health Physics, vol 68 no.6, June 1995;
111. Rogers V.C. et al., Radon diffusion coefficients for residential concretes, Health Physics, vol 67 no.3, September 1994;
112. RP 112, Radiological Protection Principles concerning the Natural Radioactivity of Building Materials, Directorate General, Environment, Nuclear Safety and Civil Protection, European Commission 1999;
113. Siehl Agemar et al., Prediction of indoor radon based on geological information and soil gas measurements in Germany,
114. SNM Committee on Radiobiological Effects of Ionizing Radiation, Facts Concerning Environmental Radon, The Journal of Nuclear Medicine, vol.35 no.2, febr.1994
115. Spencer, J.E. - Radon Gaz - A geologic Hazard in Arizona, Down - to-Earth Series 2,1992
116. Stranden, E., Assessment of the Radiological Impact by Using Fly Ash in Cement. Health Phys. 45 (1983) 145;
117. Stranden, E., Kolstad,A.K., Lind,B., The Influence of Moisture and Temperature on Radon Exhalation. Radiation Protection Dosimetry 7 (1984) 55;
118. Taner A.B., Radon migration in the ground, Natural Environment III, NTIS, US Department of Commerce, Springfield, (1980);
119. TENORM, Geology of Norm; 2004
120. Teodoreanu Ion ; Moldovan Vasile, Durabilitatea betonului. Editura tehnica, Bucuresti, 1982;
121. Thompkins R.W., The Safe Design of a Uranium Mine, 2nd US mine ventilation Symposium, Nevada;
122. Torrent R.J. , G. Forenser G. , The permeability of Cover Concrete;
123. Torrent R.J., On site evaluation of the permeability of the Concrete. Third CANMET/ACI International Conference on Durability of Concrete Nice, France 1994;
124. Tso M.W., Radon Release from Building Materials from Hong Kong, Health Physics, 1994;
125. U.S. Department of Energy, Slab insulation, Office of Building Technology;
126. Ulbak K. , Jonassen N. and Baekmark K. , Radon Exhalation from Samples of Concrete with Different Porosities and Fly Ash Additives, Radiation Protection Dosimetry 7:45-48 (1984);
127. UNSCEAR, United Nation Scientific Committee on the Effects of Atomic Radiation, Sources and Effects of Ionizing Radiation, Report to General Assembly with Scientific Annexes, New York, 2000;
128. UNSCEAR, United Nations Scientific Committee on the Effects of Atomic Radiation - Sources and Effects of Ionizing Radiation. New York, 1993;
129. Urosevic V., Nikezic D. - Radon transport through concrete and determination of its diffusion coefficient, Radiation Protection Dosimetry, vol.104 no.1, pp 65-70, 2003.
130. Van de Spoel W.H., Radon transport in sand, a laboratory study, PhD thesis, Technical University of Eindhoven, Netherlands, 1998;
131. Van Dijk W., P. de Jong, Determining the radon exhalation rate of building materials using liquid scintillation counting, Health Physics, 61, 1991;
132. Vander Pal M. , Radon Transport in Autoclaved Aerated Concrete, 2003;
133. WHO, World Health Organization, <http://www.WHO.int/whosis/database>;
134. Wiegand J. , Radon in Urban Areas, 2005;
135. Xuan X.Z., Lubin J.H. et al., A cohort study in Southern China of miners exposed to radon and radon decay products, Health Phys, Vol. 64, p.120-131, 1993.

136. Yamanischi H., Effect of humidity on radon exhalation rate from concrete, Radon and Thoron in the Human Environment, World Scinetific Publishing, 1998;
137. Yu K.N., The Effects of Typical Covering Materials on the Radon Exhalation Rate from Concrete Surfaces, Radiation Protection Dosimetry 48:367-370 (1993);
138. Yu K.N., The variation of radon exhalation rates from building surfaces of different ages, Health Physics 68/1995;
139. *** Fate and Transport of the Agent in the Environment;
140. *** FYI - Radon gas, a piece of mind, Home & Business Inspection Services, LLC.
141. *** Materialele de constructie si sanatatea, Comisia privind asezarile umane, a-15-a sesiune, Nairobi, 1995;
142. *** Rn-222 and Rn-220 Fundamentals, web.

www.kvi.nl; <http://www.epa.gov>; www.radon.com; www.cca.org.nz; <http://www.health-detect.com>; www.suro.cz; www.hull.ac.uk; www.ibes.be; www.healthandenergy.com; <http://www.risoe.dk>; www.aesradon.com; www.torromeo.com; www.lbl.gov; www.esto-epa.org; <http://archrecord.construction.com>; <http://www.irpa12.org.ar>; www.radonseal.com; www.muscleride.com; www.hse.gov.uk; www.indoorairalliance.org; www.dynamicvent.com; <http://radonrescue.com>; www.radonrepair.com; www.webphysics.iupui.edu; <http://www.bfs.de>; <http://www.wag.caltech.edu>; www.areahomesrealty.com; <http://greenlineblog.com>; <http://www.sosmold.com>; www.southshorewaterproofing.com; www.homesaferadon.com; www.energy.cr.usgs.gov; www.mitigationtech.com; <http://energy.cr.usgs.gov>; <http://radon.utoledo.edu>; <http://homeandgarden.canoe.ca>; www.insulationsolutions.com; www.homeaire.com; <http://www.all-health.co.uk>; www.purifiedliving.com; www.kasznay.com; www.tyvekhome.com.